

# Akumulátory bioenergetických polí

Karel Bartušek, 2020

## Obsah

Úvod.....	3
Polopropustné struktury .....	3
Různé typy akumulátorů bioenergetického pole .....	5
Pyramida.....	6
Reichův akumulátor.....	6
Akumulátor ve tvaru vejce .....	7
Kozyrevovo zrcadlo.....	8
Akumulátor ve tvaru kvádrů.....	10
Izolovaný prostor.....	11
Akumulátor ve tvaru koule .....	12
Porovnání akumulátorů bioenergetického pole .....	13
Akumulátor bioenergetických polí s duhovým polem .....	14
Trochu představ o elektromagnetických vlnách.....	14
Princip činnosti akumulátoru bioenergie .....	16
Polární duhové pole.....	17
Akumulátor s duhovými poli.....	18
Bioenergetické pole uvnitř a vně akumulátoru .....	20
Akumulátor pro aktivaci vody z několika směrů.....	21
O jaké vlny se jedná? .....	22
Stínění akumulátoru.....	22
Doba uchování energie .....	24
Aktivace vody přenosem vlnění z vody referenční .....	26
Aktivace vody laserem .....	26
Dílčí závěr o vlnách v akumulátoru.....	30
Polární a kuželové spirálové duhové pole.....	30
Akumulátor s možností modulace bioenergetického pole .....	33
Odlišnost akumulátorů s duhovými poli a se spirálovým magnetickým polem .....	33
Parabolické spirální duhové pole .....	34
Závěr.....	35
Publikace .....	36

## Úvod

Akumulátory bioenergetického pole jsou speciální struktury vytvářející ve vnitřním vymezeném prostoru bioenergetické pole s vyšší energií, než jaká se vyskytuje v okolním prostoru. Slouží živým buňkám zvýšit svoji energii a zlepšit funkci. Akumulátory v lidském těle zvýší energii buněčných membrán a usnadní žádané přechody různých chemických látek přes buněčné membrány do a z buňky. V případě zplodin činnosti buněk nebo toxických látek bude jejich vylučování z buněk snazší.

Bioenergetické pole, tak, jak jej známe z oblasti psychotroniky nebo léčitelství, je možné technickými prostředky akumulovat a tím zvyšovat jejich celkovou energii. V principu se jedná o prostory, do kterých vlny bioenergetického pole vstupují, a ze kterých tyto vlny neodcházejí nebo odcházejí v menší intenzitě. V akumulátorech dochází ke sčítání bioenergetických vln a ke zvyšování celkové energie. Aby akumulátor fungoval, musí být jeho stěny polopropustné, tj. z jednoho směru propouští vlny velmi dobře a z druhého směru je nepropouští, nebo vlny propouští s velkým útlumem. Ve vnitřním prostoru akumulátoru budou vlny procházet např. kolem stěn a vracet se středem prostoru. Tím dojde k akumulaci vln. Důležité je, aby došlo ke zřazování vln. Znamená to, že vlny budou působit stejnými silami na přítomný elektrický dipól, třeba na náboje elektronu. Proto je tvar prostoru akumulátoru volen ve tvaru koule, vajíčka nebo i kvádrů a rozměry by měly odpovídat Fibonacciho posloupnosti [1].

Akumulátory bioenergetického pole je možné vytvořit mnoha různými způsoby. Výsledné bioenergetické pole se bude lišit výslednou hladinou energie. Důležité při konstrukci akumulátoru je zvolit účel, ke kterému budou sloužit a jak bude konstrukce finančně náročná. Pro úpravu vody sloužící lidem k pití je možné mít akumulátor malých rozměrů. Stačí, když do něj umístíme běžnou láhev nebo konvici s vodou. Má-li akumulátor sloužit pro úpravu buněk celého těla, bude mít velké rozměry a konstrukce bude finančně dražší. Významné pro konstrukci akumulátoru je, zda bude vytvořen celý z vrstvených polopropustných stěn, nebo budou stěny tvořeny speciální strukturou magnetického pole. Tato konstrukce je jednoduchá, levná a dobře splňuje požadavky na vytvoření dostatečné úrovně bioenergetického pole.

Parametry akumulátorů různých typů je možné testovat pomocí vody. Vodu vložíme do akumulátoru na potřebnou dobu. Po jejím vyndání ji psychotronicky (např. s pomocí kyvadla) testujeme a zjistíme její parametry.

## Polopropustné struktury

Základním prvkem všech rezonátorů bioenergie jsou polopropustné struktury. Těmito strukturami bioenergetické pole prochází do akumulátoru, ale vlny v akumulátoru se od těchto struktur odrážejí zpět. To je důvod zesilování bioenergie uvnitř, protože pokud se vlny dostanou dovnitř akumulátoru, budou se neustále odrážet a sčítat s vhodnou fází.

V akumulátorech bioenergetických vln a v některých konstrukcích nebo experimentech je vhodné tedy použít struktury, u nichž se výrazně liší intenzita vln procházejících strukturou (materiálem) z jedné strany na druhou a v opačném směru. Takové struktury jsou z hlediska šíření bioenergetických vln polopropustné. Na kvalitě propustnosti struktur závisí hladina akumulované energie uvnitř akumulátoru. Bylo vysledováno, že takové vlastnosti mají vrstvené struktury z materiálů s odlišnou permitivitou a permeabilitou. Pro uvedené účely je možné použít následující struktury.

1. Zrcadlo; Sklo a ze zadní strany vrstva hliníku nebo stříbra.
2. Fe – bavlněná vata; Jsou použity minimálně tři vrstvy.

3. Fe-Vosk-TiO<sub>2</sub>-Al; Železný plech tloušťky 0,5 mm je pokryt plástem včelího vosku tloušťky asi 1,5 mm. Povrch včelího vosku je pokryt TiO<sub>2</sub> (prášek titanové běloby je smíchán s lepidlem typu Herkules a proveden nátěr). Dále je přidána folie Al (alobal) pro přidání frekvencí za účelem zafixování informace do molekul vody. Taková vrstvená struktura se opakuje třikrát. Včelí vosk je možné nahradit i papírem.
4. Al-Papír; Alobalová folie je prokládána papírem v 15 materiálových vrstvách.
5. Ni-Sklo-TiO<sub>2</sub>; Na skle jsou naneseny vrstvy Ni a TiO<sub>2</sub> o tloušťce 48 nm.
6. Buněčná membrána.
7. Lidská kůže.
8. Speciální duhové pole.

Přenosové vlastnosti polopropustných struktur jsou uvedeny v Tab. 1. Propustnost vln je stanovena pro oba směry, tedy od vrstvy ze strany paramagnetického materiálu k dalším materiálům (Fe, Al, Ni) a naopak, nebo z mezibuněčného prostoru vně buněčné membrány směrem k vnitřní straně buněčné membrány, tj. dovnitř buňky nebo naopak. Podobně je určována propustnost lidské kůže. Maximální frekvence (jednotka je hertz – Hz) je vyjádřena mocninou deseti 10<sup>x</sup>.

Tab. 1 Vlastnosti některých vybraných polopropustných struktur. Šipka znázorňuje směr propustnosti.

Vrstvená struktura	Propustnost* → / %	Propustnost ← / %	f <sub>max</sub> * → / 10 <sup>x</sup>
Zrcadlo (←: od Ag vrstva ke sklu)	15 / 15****	82 / 82****	25
3x(Fe – bavlněná vata)	15 / 15	70 / 70	34
1x(Fe-Vosk-TiO <sub>2</sub> -Al)	3 / 3	92 / 92	32
3x(Fe-Vosk-TiO <sub>2</sub> -Al)	0,05 / 0,05	98 / 98	32
3x(Fe-Papír-TiO <sub>2</sub> -Al)	0,05 / 0,05	92 / 92	32
1x(Al-Papír)	3,1 / 3,1	75 / 75	24
15x(Al-Papír)	0,2 / 0,2	97 / 97	24
1x(Ni-Sklo-TiO <sub>2</sub> )	1.10 <sup>-2</sup> / 1.10 <sup>-2</sup>	99,9 / 99,9	41
Magnetická rovina	8 / 8	8 / 8	34
Magnetické pole kulového akumulátoru	4 / 4	4 / 4	34
Buněčná membrána	0,1 / 0,1	90** / 90	22
Lidská kůže	11 / 11	80*** / 80	23
Speciální duhové pole	1.10 <sup>-5</sup> / 100	100 / 1.10 <sup>-5</sup>	75

\* propustnost maximální frekvence přenosu vln (f<sub>max</sub>) v obou směrech

\*\* propustnost vln směrem z mezibuněčného prostoru dovnitř buňky.

\*\*\* propustnost vln směrem z vnějšího prostoru dovnitř těla.

\*\*\*\* před lomítkem jsou hodnoty propustnosti pro pozitivní vlny a za lomítkem pro vlny negativní.

Z uvedeného přehledu vychází, že velmi výhodné je použít skleněnou desku a na ní z jedné strany nanést tenkou (tloušťky 48 nm) vrstvu Ni a na druhou stranu tenkou vrstvu TiO<sub>2</sub> (48 nm). Taková struktura přenáší bioenergetické vlny dopadající z jedné strany desky odlišně od propustnosti vln dopadajících ze strany opačné. Je třeba zdůraznit, že před vrstvou z paramagnetického materiálu musí být vzduch a ne jiný materiál. Nejvýhodnější vlastnosti však má speciální duhové pole, u kterého je útlum vln velmi velký.

Pro akumulátory sloužící k ovlivnění lidských buněk a tkání je důležité, aby akumulátor v aktivním prostoru měl vyšší pozitivní bioenergie a minimální nebo nulovou negativní energii. To znamená, že pozitivní bioenergie má procházet dovnitř a ne ven a naopak. Negativní

bioenergie prochází ven z akumulátoru a ne dovnitř. Tyto efekty souvisí s polopropustnými vrstvami a je vhodné je také sledovat. V Tab.1 je propustnost negativních a pozitivních bioenergetických vln odlišena lomítkem. Před lomítkem je propustnost pro pozitivní bioenergetické vlny a za lomítkem je propustnost pro negativní bioenergetické vlny. Z tohoto pohledu vyplývá velmi důležitá skutečnost. Pokud mají polopropustné vrstvy propustnost pro pozitivní i negativní vlny stejnou, je pomocí nich možné sestavit akumulátory, posilující oba typy vln. Tedy akumulátor pozitivních bioenergetických vln a akumulátor negativních bioenergetických vln. To znamená, že v případě přítomnosti negativních bioenergetických vln v okolí akumulátoru, dojde k jejich zesílení, podobně jako tomu je u vln pozitivních. **Takové akumulátory je možné používat pro ovlivnění lidského zdraví jen v případě, že jsou umístěny v prostoru bez negativních polí a mimo geopatogenní zóny.**

Akumulátor je možné také vytvořit pomocí izolačních magnetických rovin nebo pole, které tlumí průchod bioenergetických vln v obou směrech. Pronikání vln dovnitř akumulátoru je zajištěno polopropustnými vrstvami umístěnými v jedné magnetické rovině. Podrobněji to bude vysvětleno v příslušné kapitole.

Pro ověření vlastností tenkovrstvé struktury byl proveden následující experiment. V kulovém akumulátoru (viz kapitola Akumulátory ve tvaru koule) byla vrstvená struktura nahrazena jednou tenkovrstvou strukturou ve složení  $1x(\text{Ni-Sklo-TiO}_2)$ . Tloušťka vrstev byla 48 nm. Do pracovního prostoru akumulátoru byla vložena kyveta (průměr 10 mm, délka 20 mm) naplněná deionizovanou vodou. Byl sledován násobek  $n$  zvýšené energie ( $n \cdot E_n$ ) v porovnání s úrovní energie v okolí  $E_n$  a velikost indukce elektrického pole  $D$  v měrných jednotkách. Použití tenkovrstvé struktury zvýší energii vůči okolí 48x a ve srovnání s kulovým akumulátorem se tří vrstvami (Fe-Vosk-TiO<sub>2</sub>-Al) 22x. Ještě výhodnější je použít pro vytvoření akumulátoru bioenergetického pole speciálního duhového pole.

## Různé typy akumulátorů bioenergetického pole

S využitím polopropustných vrstev byly vytvořeny různé typy akumulátorů. V historii lze nalézt informace např. o orgonovém akumulátoru Wilhelma Reicha [2], [3] nebo konstrukcích akumulátoru podle Nikolaje Kozyreva [4]. Také pyramidy jsou dobrými akumulátory bioenergetického pole [5]. V poslední době byly navrženy a realizovány rezonátory vytvořené pomocí duhových disků různých tvarů. Tyto rezonátory jsou z hlediska zvýšení bioenergie daleko výkonnější ve srovnání s Reichovými nebo Kozyrevovými akumulátory nebo pyramidami. Energie je mnohonásobně větší a harmonizace všech sub-částic atomů je výrazně lepší. Je třeba si uvědomit, že rezonátory zvyšují bioenergii hmoty, ale nemění informaci uchovanou ve hmotě. **Z toho plyne, že rezonátory zvýší bioenergii hmoty, ale nezmění její informační hodnotu.**

Na základě zkušeností s polopropustnými vrstvami byly vytvořeny následující konstrukce akumulátorů:

- Pyramida
- Reichův akumulátor a akumulátor ve tvaru vejce. Je vytvořeno elektromagnetické pole ve tvaru vejce. Jde o obměnu akumulátoru vytvořeného Reichem a stěny akumulátoru jsou z polopropustné vrstvené struktury.
- Akumulátor Kozyreva. Jako polopropustné stěny využívá zrcadel v různém uspořádání.
- Akumulátor ve tvaru kvádru - Elektromagnetické pole se vytvoří v akumulátoru ve tvaru kvádru s rozměry podle Fibonacciho posloupnosti (zlatého řezu) s magnety v rozích. Zvláštním a užitečným se jeví izolovaný prostor. Jedná se o elektromagnetické pole v akumulátoru ve tvaru kvádru s rozměry podle Fibonacciho posloupnosti

s magnety v rozích, ale bez vrstvené struktury. V prostoru bude bioenergetické pole, které je izolované od vnějších polí vhodných pro tkáň i předměty.

- Akumulátor ve tvaru koule, kde je elektromagnetické pole vytvořeno pomocí spirálového magnetického pole.
- Rezonátor s duhovými poli plochými nebo kuželovými.

## Pyramida

Pyramida je jehlanovitá stavba [5], [6]. Základem pyramid bývá zpravidla přibližně čtverec, obecně to však může být jakýkoliv polygon. Pyramida má obvykle tři nebo čtyři strany. Tyto strany musí být trojúhelníkové. Tuto vlastnost má drtivá většina starověkých pyramid.

Na světě je v současné době nalezeno velké množství pyramid rozmístěné na celé zeměkouli. Můžeme uvést některá místa např. Egypt, Nubie, Mezoamerika (Mexiko), Čína, Bosna, Starověký Řím a další. Byly objeveny i v České republice.

Zprávy o schopnostech egyptských pyramid nadchly českého vědce Karla Drbala natolik, že začal s malými modely egyptských pyramid experimentovat. Zjistil, že pokud se do pyramidy vyrobené z papírového kartonu umístí použité žiletky, ty se do druhého dne nabrousí, a lze je pak mnohokrát použít. Na svůj vynález dostal v roce 1959 patent. Organické látky vložené do pyramidy orientované severojižním směrem se nekazily, nýbrž byly dokonale vysušeny. Pokusy se prováděly také s masem, sýrem a dokonce i s mrtvými živočichy. Výsledek byl vždy stejný. Objekt v pyramidě byl krásně mumifikovaný, zatímco stejný předmět položený vedle pyramidy shnil. Tolik drobné informace o účincích pyramid. O pyramidách bylo napsáno mnoho knih. Doposud se stále jen domníváme, proč a k jakému účelu pyramidy sloužily a proč byly stavěny.

Z energetického hlediska pyramidy koncentrují ve svém středu bioenergetické pole a jsou ve skutečnosti akumulátory těchto polí. Optimální energetické místo v pyramidě je uprostřed v 1/3 její výšky.

Podle mých hodnocení má prostor uvnitř pyramidy ze dřeva vyšší bioenergetické pole, lepší uspořádanost např. molekul vody a také vyšší maximální frekvence. V Tab. 2 jsou tyto parametry uvedeny pro pyramidu o délce základny 10 m a 100 m s orientací sever/jih.

Tab. 2 Vlastnosti pyramid.

Typ akumulátoru	Násobek energie	$D / m.j.$	$f_{max} / 10^x$
Pyramida (základna 10 m)	2,8	15	40
Pyramida (základna 100 m)	4,9	15	40

Pokud bude v okolí pyramidy pozitivní bioenergetická energie s násobkem energie 1, zvýší se pozitivní bioenergetické pole v pyramidě na hladinu 2,8x (u pyramidy se základnou 100 m to bude 4,9x). Okolní negativní bioenergetická energie se v pyramidě zvýší jen na hladinu 1,3x (u pyramidy se základnou 100 m to bude 1,4x). Tedy také platí, že v pyramidě dojde k posílení bioenergetického pozitivního pole více, než negativního pole. To může vést k energetickému posílení pacienta.

## Reichův akumulátor

Rakousko-americký psychoanalytik Wilhelm Reich (1897–1957) vytvořil teorii orgonu [2], [3]. Dospěl k přesvědčení, že orgon má kosmický původ a nevzniká v těle, ale člověk je jeho



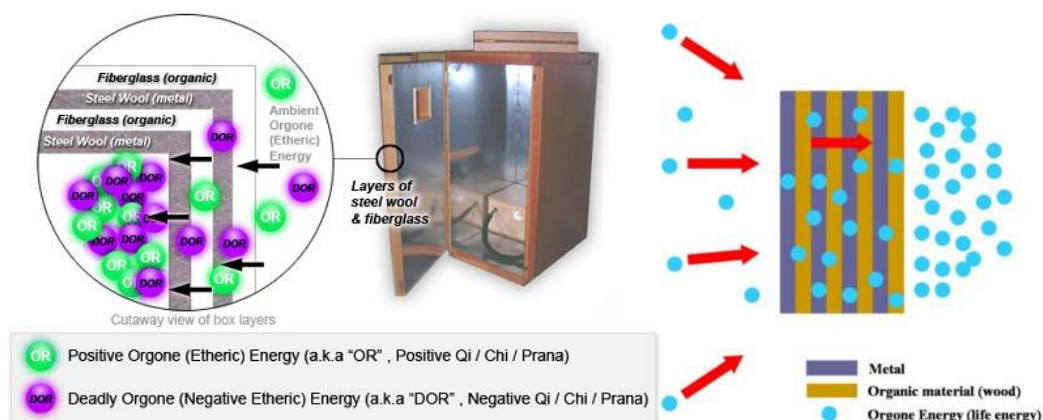
přijímačem. Pozorováním si uvědomil, že někdo má život podporující energie méně a je nemocný. Proto se snažil tuto energii shromažďovat do nějakého místa, v němž by ji nemocný člověk přirozeně přijal, vstřebal do sebe a bylo tak podpořeno jeho uzdravení. Sestrojil orgonový akumulátor, kde lidé byli vystavováni silnému proudu orgonu a takto léčeni. Princip Reichova akumulátoru je uveden na Obr. 1. Na principu orgonu později sestrojil i přístroj, jímž údajně dokázal rozhánět mraky na obloze či přivolat déšť. Po druhé světové válce byl uvězněn a po ročním pobytu ve vězení zemřel. FDA (Food and Drug Administration) mezitím nechala spálit mnoho jeho nepublikovaných teoretických materiálů o orgonu.

Dr. Reich tehdy svými velkými akumulátory úspěšně léčil i "nevléčitelné" pacienty s rakovinou. Ve skříni jejich organismus nasál hromadu energie, která napomohla čištění a detoxikaci těla. Tím byla odstraněna jedna podstatná příčina vzniku rakoviny, alespoň dle zdrojů tohoto článku.

Podle mých hodnocení má prostor uvnitř Reichova akumulátoru vyšší bioenergetické pole, lepší uspořádanost např. molekul vody a také vyšší maximální frekvence. Přehledně jsou parametry uvedeny v Tab. 3.

Tab. 3 Vlastnosti Reichova akumulátoru.

Typ akumulátoru	Násobek energie	$D / m.j.$	$f_{max} / 10^x$
Reichův	3,8	80	35



Obr. 1 Reichův akumulátor orgonu s vrstvami organika / anorganika.

Převzato z [www.lifeenergysolutions.com/wilhelm-reich/](http://www.lifeenergysolutions.com/wilhelm-reich/):

Pokud bude v okolí Reichova akumulátoru pozitivní energie s násobkem energie 1, zvýší se pozitivní bioenergetické pole v pyramidě na hladinu 3,8x. Okolní negativní energie se v Reichově akumulátoru zvýší také na hladinu 3,8x. Tedy platí, že v Reichově akumulátoru dojde k posílení bioenergetického pozitivního i negativního pole. I přes to to vede k energetickému posílení pacienta.

## Akumulátor ve tvaru vejce

Vejčitý akumulátor je založen na průniku dvou oblastí [7]. Jedná se o střídanou strukturu organický materiál/kov zjištěnou a otestovanou Wilhelmem Reichem a vejčitý tvar hojně zmiňovaný Viktorem Schaubergerem (Obr. 2). Vejce je navrženo podle poměru zlatého řezu [9], jeho centrální podélná osa má 35 centimetrů a z této hodnoty jsou odvozeny všechny ostatní rozměry. Tloušťka vrstvené stěny je cca 2,5 cm, tudíž délka centrální osy vnitřního prostoru je

30 cm. Oblast největší koncentrace energie je 10 cm nad nejspodnějším bodem širší části vejce. Vzorek vody se umísťuje zhruba do této výšky na dřevěný podstavec.



Obr. 2 Zdroj bioenergetického pole v prostoru akumulátoru ve tvaru vejce [21].

Podle mých hodnocení má prostor uvnitř akumulátoru ve tvaru vejce vyšší bioenergetické pole, Tab. 4, lepší uspořádanost např. molekul vody a také vyšší maximální frekvence.

Tab. 4 Vlastnosti akumulátoru ve tvaru vejce.

Typ akumulátoru	Násobek energie	$D / m.j.$	$f_{max} / 10^x$
Vejce	3,5	40	34

Platí tedy, že v akumulátoru tvaru vejce dojde k posílení bioenergetického pozitivního i negativního pole na hladinu 3,5x. To vede, podobně jako u Reichova akumulátoru k energetickému posílení pacienta.

### Kozyrevovo zrcadlo

Vědecké důkazy o tom, že veškerá fyzikální hmota je tvořena neviditelnou vědomou energií, se objevovaly už nejméně od roku 1950. Ruský astrofyzik Dr. Nikolaj Kozyrev (1908-1983) dokázal, že tato energie nutně musí existovat. Během experimentů se ukázalo, že toky neviditelné energie se mohou absorbovat, odrážet a soustředit se. Vhodným materiálem pro tyto možnosti je hliník [4].

Nedávné vědecké výzkumy, jako například ty týkající se „temné hmoty“, „temné energie“, „virtuálních částic“ nebo „energie nulového bodu“ vedou k pochopení, že neviditelné energetické médium skutečně vyskytovat musí. Je vhodné jej nazvat např. „kvantové médium“.

Jeden z nejranějších důkazů existence éteru pochází od fyzika Dr. Hala Puthoffa. Tento vědec často zmiňuje pokusy z počátku 20. století, které byly provedeny dávno před tím, než nějaká kvantová mechanika vůbec vznikla. Tyto experimenty byly zaměřeny na důkaz existence energie v „prázdném prostoru“. V laboratorních podmínkách ověřit přítomnost kvantového média by znamenalo uměle vytvořit prostor, který byl zcela bez vzduchu (tj. vakuum), a odstínit jej od všech známých forem elektromagnetického záření prostřednictvím tzv. Faradayovy klece. Tento prostor bez vzduchu pak ochladit na absolutní nulu (na teplotu  $-273^{\circ}\text{C}$ ). Při ní by měla veškerá hmota přestat vibrovat a produkovat teplo. Místo aby tyto pokusy s vakuem potvrdily absenci jakékoliv energie, zjistilo se, že je jí tam nesmírné množství. Dr. Puthoff toto často nazýval „kypícím kotlem“ značného množství energie. Jelikož byla tato energie naměřena i za absolutní nuly, byla pojmenována „energie nulového bodu“ či ENB (ZPE – Zero Point Energy).

V novém pohledu na vědu, který se nám díky teorii kvantového média naskýtá, jsou všechny čtyři základní síly (interakce): gravitace, elektromagnetismus, slabá a silná interakce jen různými podobami kvantového média.



Profesor M. T. Daniels spočítal, že hustota gravitační energie blízko u zemského povrchu se rovná  $5,74 \cdot 10^{10}$  (t/m<sup>3</sup>). Podle profesora Danielse by odebrání podstatného množství, jednoho sta kilowattů, této „volné energie“ gravitačního pole znamenalo odebrat pouze její nepatrné množství, konkrétně 0,001 procenta jejího celkového množství v daném místě. (Viz New Energy News, červen 1994, str. 4.)

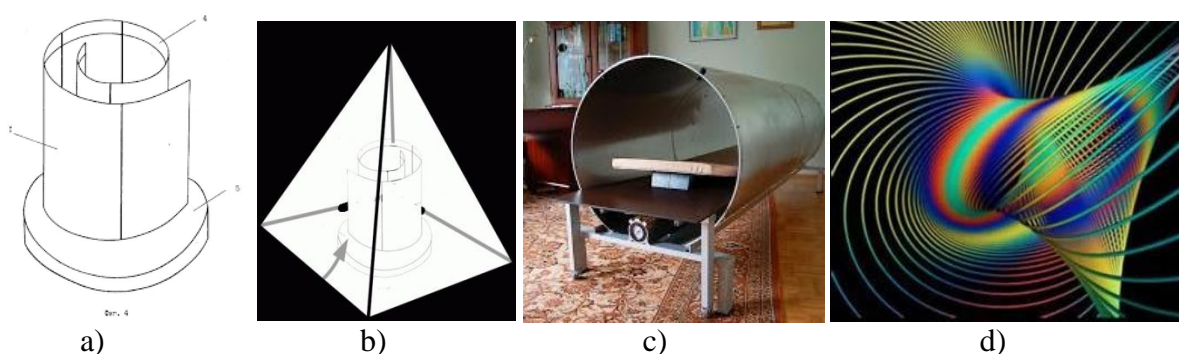
Výzkum provedený Dr. Nikolou Teslou vedl tohoto fenomenálního vědce roku 1891 k závěru, že kvantové médium se „vůči pevným tělesům chová jako fluidum (tekutina), a vůči světlu a teplu jako pevná látka“. Pokud je navíc vystaven „dostatečně vysokému napětí a frekvenci,“ stane se dosažitelným, což naznačilo existenci a dostupnost technologií volné energie a antigravitace.

Po smrti Kozyreva vědci znovu vytvořili Kozyrevovo zrcadlo. Zrcadlo tvoří konkávní hliníkové plochy různých tvarů. Mohou to být kulatá trubka (vodorovná a svislá) nebo spirála (pravo- nebo levotočivá). Lidé, kteří byli v tomto zařízení, potvrzují, že jejich zdraví se zlepšilo, u některých se vznikla schopnost předpovědět budoucnost případně rozvíjet intuici. Pomocí tohoto přístroje můžete přesně diagnostikovat různé nemoci, zlepšit stav lidského bioenergetického pole. Podle psychologů a dalších specialistů lidské vědomí uvnitř takového zařízení se mentálně umí přesunout do jiné země, nebo přesunout v čase. V budoucnu je možné použít Kozyrevových zrcadel v medicíně a seismologii Země.

Jeden z experimentů proběhl v arktické vesnici Dixon, 24. prosince 1990. Byly zaznamenány podivné jevy, jako je polární záře nad budovou, ve které probíhaly experimenty, objevení se UFO.

V historii se objevovaly některé experimenty. Například vědec Barchenko AV (1881-1938) vynalezl telepatickou přilbu z různých kovových slitin, kterými se přenášejí informace o vzdálenosti. Znamé Nostradamovo vejce představuje zařízení vyrobené z kovových konkávních desek, umístěných na sedadle. Egypťští kněží a mnichové v jezuitském a katolickém kostele používají magických vlastností konkávního zrcadla pro své vlastní účely. Rodina Bacon dokázala předpovědět vynález mikroskopu a automobilu, dozvědět se o struktuře embrya a dalších faktech, při pohledu na zakřivený povrch zrcadla.

Jak udělat Kozyrevovo zrcadlo? Takové zařízení může být vyrobeno z hliníkového ohýbaného plechu, nebo sestaveno z více svislých sloupců. Je žádoucí použít materiály s větší tloušťkou, aby lépe odrážely energii (viz. Obr. 3).



Obr. 3 Některé konstrukce Kozyrevova zrcadla, a) spirálové zrcadlo, b) spirálové zrcadlo v pyramidě, c) válcové zrcadlo, d) grafická představa fáze torzních poli.

Lze použít konkávní zrcadlo nebo přírodní strukturu ve formě skalních údolí, velkých skal dutého tvaru a tak dále. Nicméně je třeba dbát na to, aby se používala taková zařízení, aby se předešlo nepříjemným důsledkům, protože koncentrace toku informací nebyla dosud dobře prozkoumána.

Podle mých hodnocení má prostor uvnitř zrcadel vyšší bioenergetické pole, lepší uspořádanost např. molekul vody a také vyšší maximální frekvence (Tab. 5).

Tab. 5 Vlastnosti akumulátorů podle Kozyreva.

Typ zrcadla	Násobek energie	$D / m.j.$	$f_{max} / 10^x$
Válcové	2,1	60	30
Spirálové	4,4	60	40
Spirálové v pyramidě	8	90	50

Zkušenosti i experimenty s Kozyrevovým zrcadlem ukazují, že v jeho prostoru je nervový i duchovní systém lidského těla aktivován, je schopen přijímat nové intuitivní informace, má zvláštní vjemy a je jednodušší zvládnout cestování v čase i prostoru apod.

Pokud bude v okolí Kozyrevova akumulátoru pozitivní energie s násobkem energie 1, zvýší se pozitivní bioenergetické pole v pyramidě na hladinu 2,1x. Okolní negativní energie se v Kozyrevově akumulátoru zvýší na hladinu 1,2x. Tedy platí, že v Kozyrevově akumulátoru dojde k posílení bioenergetického pozitivního i negativního pole. To vede k energetickému posílení pacienta.

### Akumulátor ve tvaru kvádrů

Bioenergetické pole v kvádrů [8] se vytváří v prostoru o rozměrech 400x250x250 mm, přičemž rozměry odpovídají Fibonacciho posloupnosti, Obr. 4. Na horní straně je vrstvená struktura umožňující vstup vnějších vln do kvádrů a zabraňující výstupu vln horní stranou. Složení vrstvené struktury od středu akumulátoru je následující: Fe plech 0,2 mm, Al folie, TiO<sub>2</sub> tenká vrstva a vrstva včelího vosku. Tato struktura se opakuje 3x. V rozích nahoře i dole je po dvou magnetech, orientovaných tak, že jižní pól při pohledu shora je orientován po směru hodinových ručiček a magnet je umístěn ve směru diagonály základny. Dva magnety na základně jsou umístěny v protilehlých rozích a magnety na horní straně jsou v rozích a to tak, že jejich spojnice je kolmá na spojnici magnetů na základně. Magnety zabraňují vlnám bioenergetického pole vycházet z prostoru ven nebo do něj vstupovat. Dojde k akumulaci vlnění uvnitř kvádrů. Takto se vytvoří bioenergetické pole jako v Reichově akumulátoru. Maximální hodnota bioenergetického pole je ve výšce 162 mm zdola.

Podle následných experimentů je pro polopropustnou vrstvu možné použít i polární duhové pole v rovině nebo i na kuželi, podle obr. 6, (barevnou plochou dovnitř kvádrů). Funkce je stejná jako u vrstvené struktury, ale zpětná propustnost je výrazně menší a proto limitní úroveň násobku energie okolí je 6000. Akumulátor propouští ven energii i svými stěnami. V případě použití polárního duhového pole z horní i spodní strany bude násobek energie okolí asi 12000.

Důležité upozornění. Kvádrový akumulátor pracuje jen v případě, že stojí na své základně (viz. Obr. 4 vlevo) nebo leží-li na zadní stěně. Otočíme-li akumulátor opačně (změní se směr polarity magnetů) a akumulátor nebude pracovat.

Pokud akumulátor na spodní straně doplníme další vrstvenou strukturou, a to tak, že první vrstva od středu akumulátoru bude z Fe, nebudou vlny spodní stranou odcházet ven a uvnitř akumulátoru získáme přibližně dvojnásobnou energii, než v akumulátoru s jednou vrstvenou strukturou.

Při vložení válce se šikmým duhovým spektrem do akumulátoru, zvýšíme energii aktivované vody asi o 30% a získáme aktivovanou vodu s  $D = 1900 m.j.$ , s násobkem energie  $n = 6$ . V případě, že chceme ještě harmonizovat sub-částice atomových jader i elektronů, je

třeba vložit vodu pro aktivaci do prostorové spirály s barvami duhy. Takto aktivovaná voda bude mít  $D = 9000$  m.j., násobek energie  $n = 10$ .

Podle mých hodnocení má prostor uvnitř kvádrového akumulátoru vyšší bioenergetické pole, lepší uspořádanost např. molekul vody a také vyšší maximální frekvence, Tab. 6.

*Tab. 6 Vlastnosti akumulátorů ve tvaru kvádrů.*

Typ akumulátoru	Násobek energie	$D / m.j.$	$f_{\max} / 10^x$
Kvádrů	4	1400	35
Kvádrů s obousměrným vstupem vln	7,5	1400	35
Kvádrů s duhovým polem	6	1900	58
Kvádrů s duhovým polem a spirálou	10	9000	75



*Obr. 4 Zdroj bioenergetického pole v prostoru tvaru kvádrů vlevo. Uprostřed je akumulátor doplněn o prostorovou spirálu s barvami duhy. Vpravo je válec se šikmým duhovým spektrem pro zvýšení energie.*

Pokud bude v okolí Kvádrového akumulátoru pozitivní energie s násobkem energie 1, zvýší se pozitivní bioenergetické pole v pyramidě na hladinu 4x. Okolní negativní energie se v Kvádrovém akumulátoru zvýší také na hladinu 1,6x. U akumulátoru typu Kvádrů s duhovým polem a spirálou se pozitivní bioenergie zvýší 10x a negativní 2,8x. Platí tedy, že v Kvádrovém akumulátoru dojde k posílení bioenergetického pozitivního i negativního pole. To vede k energetickému posílení pacienta.

### **Izolovaný prostor**

Prostor izolovaný od vnějších bioenergetických polí [8] je konstrukčně stejný jako akumulátor ve tvaru kvádrů, ale vrstvená struktura na horní straně kvádrů chybí, obr. 4. Tímto uspořádáním se vnější bioenergetické pole nedostává dovnitř a prostor je od těchto polí izolován. Uvnitř izolovaného prostoru se bioenergie sníží na minimum.

## Akumulátor ve tvaru koule

Bioenergetické pole v kulovém prostoru se vytváří v kouli o průměru 190 mm, Obr. 5, [8]. Na povrchu koule je 8 magnetů ve tvaru prostorové spirály, přičemž se spojí do jednoho bodu na horní a spodní základně. Toto uspořádání nedovolí bioenergetickým polím dostat se dovnitř koule nebo vycházet z ní ven. Izolace je velmi dobrá. Magnety jsou pólovány v tečné rovině a jižní pól je ve směru hodinových ručiček z pohledu shora. Aby se bioenergie mohla dostat dovnitř a akumulovat se, je třeba použít vrstvenou strukturu stejnou jako v případě kvádrů. Z toho důvodu je na horní straně koule otvor, v níž je kyveta s vodou. Kyveta končí na vnější úrovni magnetů. Nad vrstvenou strukturou je druhá kyveta naplněná vodou, která přivádí bioenergetické pole z vnějšího prostředí. Ve středu koule se umísťuje měřený vzorek vody.



Obr. 5 Zdroj bioenergetického pole v prostoru tvaru koule.

Podle mých hodnocení má prostor uvnitř kvádrového akumulátoru vyšší bioenergetické pole, lepší uspořádanost např. molekul vody a také vyšší maximální frekvence, Tab. 7.

Tab. 7 Vlastnosti akumulátorů ve tvaru koule.

Typ akumulátoru	Násobek energie	$D / m.j.$	$f_{max} / 10^x$
Koule se třemi vrstvami (Fe-Vosk-TiO <sub>2</sub> -Al)	22	1900	40
Koule s tenkovrstvou strukturou (Ni-Sklo-TiO <sub>2</sub> )	48	1900	40

Pokud bude v okolí akumulátoru ve tvaru koule pozitivní energie s násobkem energie 1, zvýší se pozitivní bioenergetické pole v pyramidě na hladinu 22x. Okolní negativní energie se v akumulátoru ve tvaru koule zvýší také na hladinu 8x. U akumulátoru ve tvaru koule se pozitivní bioenergie zvýší 48x a negativní 21x. Platí tedy, že v Kvádrovém akumulátoru dojde k posílení bioenergetického pozitivního i negativního pole. To vede k energetickému posílení pacienta.

## Porovnání akumulátorů bioenergetického pole

Různé typy akumulátorů bioenergetického pole můžeme navzájem porovnat podle velikosti násobku energie v aktivním prostoru s energií v okolí. V Tab. 8 jsou uvedeny popsané akumulátory a jejich vlastnosti.

Tab. 8 Porovnání vlastností akumulátorů bioenergetického pole různých typů.

Typ akumulátoru	Násobek energie	Únik energie %	$D$ m.j.	$f_{\max}$ $10^x$
Pyramida (základna 10 m)	2,8	35,7	15	40
Pyramida (základna 100 m)	4,9	20,4	15	40
Reichův	3,8	26,3	80	35
Vejce	3,5	28,6	40	34
Kozirevův válcový	2,1	47,6	60	30
Kozirevův spirálový	4,4	22,7	60	40
Kozirevův spirálový v pyramidě	8,0	12,5	90	50
Kvadr	4,0	25,0	1400	35
Kvadr s obousměrným vstupem vln	7,5	13,3	1400	35
Kvadr s duhovým polem	6,0	16,7	1900	58
Koule se třemi vrstvami (Fe-Vosk-TiO <sub>2</sub> -Al)	22	4,5	1900	40
Koule s tenkovrstvou strukturou (Ni-Sklo-TiO <sub>2</sub> )	48	2,1	1900	40
Akumulátor s duhou v rovině *	40	2,5	2100	75
Akumulátor s duhou na kuželi *	70	1,4	2100	75

\*po hodině působení

**Důležité upozornění.** V předchozích odstavcích byly porovnány různé typy akumulátorů bioenergetického pole. Rozlišil bych dvě základní skupiny akumulátorů. První z nich je akumulátor na základě specifického magnetického pole – lze jej nazvat magnetický akumulátor. Druhou skupinou jsou akumulátory na bázi rezonátorů – rezonanční akumulátory.

Byly provedeny následující pokusy. Jak bylo zjištěno dříve, uspořádanou strukturu lze rozbít obalením květy s aktivovanou vodou uzavřeným vodivým povrchem, např. měděným válcem. V případě úpravy vody v magnetickém akumulátoru vodivý válec její strukturu poruší. Voda potom bude mít vlastnosti stejné, jako před aktivací. Je to pravděpodobně způsobeno vířivými proudy ve vodivém válci.

V případě aktivace vody v akumulátoru s duhovými poli nebo ostatními akumulátory, vznikne aktivovaná voda, kterou vodivý válec neporuší. Voda bude mít zvýšený jak násobek energie, tak  $D$  i maximální frekvenci. Vířivé proudy v okolí vzorku vody nevznikají.

V případě, že provedeme aktivaci magnetickým polem i rezonančním způsobem, aktivace vody bude větší, než při samostatných úpravách. Při použití vodivého válce dojde k rozbití struktury vytvořené magnetickým polem a struktura vytvořená rezonančním způsobem zůstává.

Z popsáných experimentů vyplývá, že akumulátor bioenergetického pole je možné vytvořit na základě dvou principů, magnetickým polem a s využitím rezonance. Aktivace vody magnetickým polem interaguje s magnetickým polem elektronu a jádra, ovlivní atom, pravděpodobně ovlivní prostorovou orientaci jádra a elektronu atomu. Může se vytvořit pevnější struktura molekul vody a ovlivnit tak iontovou vodivost vody, která je po aktivaci vody menší. Aktivace vody v rezonančních akumulátorech závisí na vhodné struktuře elektromagnetických vln sub-částic elektronu (nebo jádra) a na schopnosti akumulátoru počítat silové účinky těchto vln na náboj elektronu. Protože bioenergetické vlny působí na sub-částice

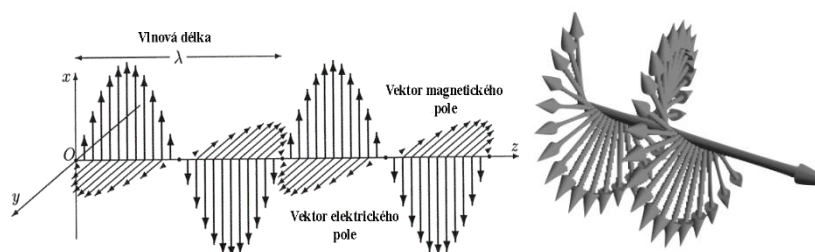


elektronu, nebudou ovlivňovat elektrické nebo magnetické pole elektronu a síly, které působí na okolní atomy. Z toho vyplývá, že rezonanční princip neovlivní iontovou vodivost vody ani jiné fyzikální vlastnosti vody.

## Akumulátor bioenergetických polí s duhovým polem

### Trochu představ o elektromagnetických vlnách

Světelné paprsky procházející vesmírem mají různé vlastnosti a strukturu. Jedná se o elektromagnetické vlny. U přímé elektromagnetické vlny je vektor elektrického a magnetického pole vždy na sebe kolmý a při šíření prostorem nemění směr (elektrické pole kmitá v jedné rovině), Obr. 6 vlevo. Tyto vlny mají lineární polarizaci. V některých případech se vektor elektrického pole pohybuje po kružnici, kolmé na směr šíření vlny, Obr. 6 vpravo. Magnetické pole je opět kolmé na pole elektrické, které se otáčí kolem osy šíření vlny. Takové vlny jsou kruhově polarizované. Existují dvě varianty kruhově polarizovaných vln, pravotočivá a levotočivá.



Obr. 6 Lineárně polarizovaná vlna (vlevo) a vektor elektrického pole u kruhově polarizované vlny (vpravo).

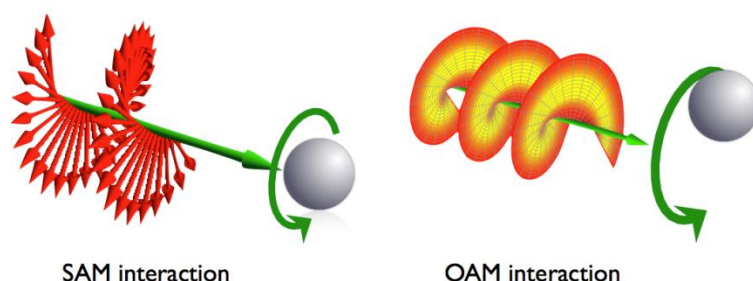
Pro živé buňky jsou zajímavé vlny se šroubovicovým tvarem elektromagnetického pole. Šroubovicový tvar pole je charakterizován vlnoplochou kolmou na směr šíření vlny. Jedná se v podstatě o stav elektrického a magnetického pole v daném časovém okamžiku a v určeném místě šíření [9]. U kruhově polarizované vlny (SAM) je fáze vln na vlnoploše konstantní v celé ploše. V případě, že fáze vln na vlnoploše není konstantní a má charakter spirály (pravotočivé nebo levotočivé), mají tyto vlny s orbitálním úhlovým momentem (OAM) vliv na buňky a na molekulární a atomovou strukturu hmoty [10], [11]. Takové vlny mají tzv. orbitální úhlový moment, který má významný vliv při interakci s atomy hmoty.

Před mnoha lety vydali Allen, Beijersbergen, Spreeuw a Woerdman [12], [13] klíčový dokument, podle něhož světelné paprsky se spirálovitými fázovými rozloženími na vlnoploše nesou orbitální moment hybnosti. Předtím orbitální úhlová hybnost byla spojena pouze s vysokorychlostními atomovými / molekulárními přechody, a proto byla považována za vzácně se vyskytující. Představa, že každý foton v laserovém paprsku by mohl mít orbitální úhlovou hybnost, která převyšuje úhlové momenty spojené s fotonovým odstředováním, vedla jak k novému pochopení optických efektů, tak k různým aplikacím. Tyto aplikace se používají od optické manipulace, zobrazování a kvantové optiky po optickou komunikaci.

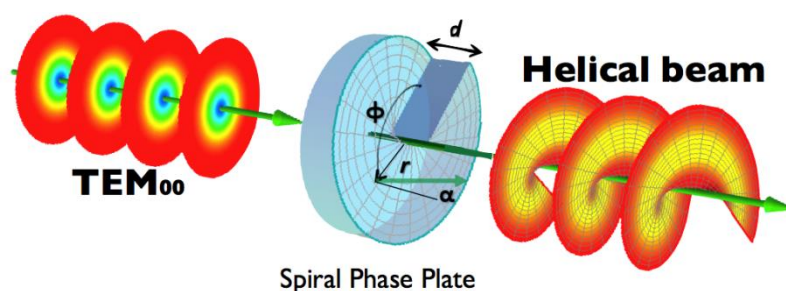
Orbitální úhlový moment světla [11] je vektorová veličina, která vyjadřuje množství dynamické rotace přítomné v elektromagnetickém poli světla. Při šíření přibližně v přímém směru může být paprsek světla také rotující kolem své vlastní osy. Tato rotace, i když není viditelná pouhým okem, může být odhalena interakcí světelného paprsku s hmotou.



V případě např. nabitého tělesa, Obr. 7, při dopadající vlně SAM se bude těleso otáčet kolem osy šíření vlny. V případě dopadu vlny OAM na toto těleso, bude se pohybovat po kružnici kolmé ke směru šíření vlny. Tento rozdíl je podstatný. Může mít vliv na interakci těchto vln se sub-částicemi elektronu, protonu nebo neutronu v atomových jádrech a může ovlivnit fázi jejich vnitřních vln. Může fázi zpomalovat nebo urychlovat a tím mít vliv na vlastnosti jemné struktury hmoty.



Obr. 7 Interakce elektromagnetických vln s nabitým tělesem. Vlevo pro kruhově polarizovanou vlnu (SAM) a vpravo pro vlnu s orbitálním úhlovým momentem (OAM), [12].

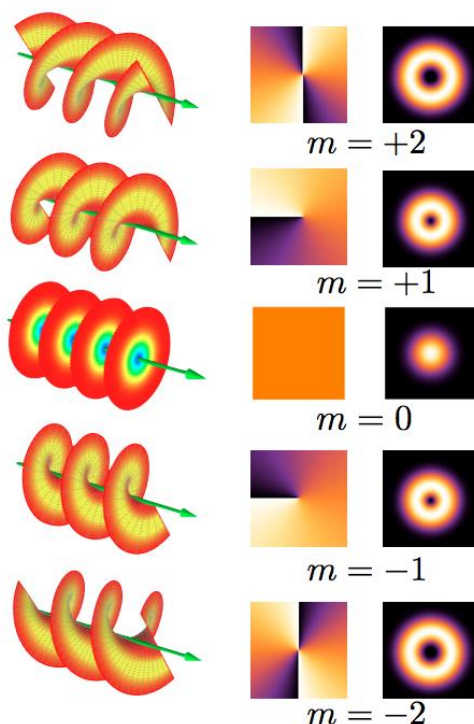


Obr. 8 Transformace vlny SAM na vlnu OAM. TEM vlna má elektrické a magnetické pole kolmé nejen na sebe, ale také na směr šíření. Pokud TEM vlna má kruhovou polarizaci, jedná se o vlnu SAM, [12].

Jeden ze způsobů transformace SAM vlny na vlnu OAM je znázorněn na Obr. 8. Vstupní SAM vlna prochází destičkou s proměnnou tloušťkou (podle Obr. 8). Vystupující vlna má fázi, odpovídající tloušťce desky v místě, kterým vstupní vlny prochází. Výsledná vlna OAM má ve vlnoploše fázi ve tvaru spirály.

Spirálové tvary elektromagnetického pole jsou charakterizovány vlnoplochou, která je tvarována jako spirála s optickým vírem ve středu a na ose šíření (viz Obr. 9). Spirálové tvary jsou charakterizovány celočíselným číslem  $m$ , kladným nebo záporným. Pokud  $m = 0$ , režim není spirálovitý a vlnoplochy jsou se stejnou fází a jedná se o rovinné vlny. Je-li  $m = \pm 1$ , je vlnoplocha tvarována jako jeden spirálový povrch vzhledem k vlnové délce  $\lambda$ . Pokud  $|m| \geq 2$  vlnoplocha se skládá z  $|m|$  odlišných, ale propletených spirál, přičemž délka kroku každé plochy spirály je  $|m| \lambda$ . Světelné paprsky, které jsou v šikmém režimu, nesou nenulový OAM.

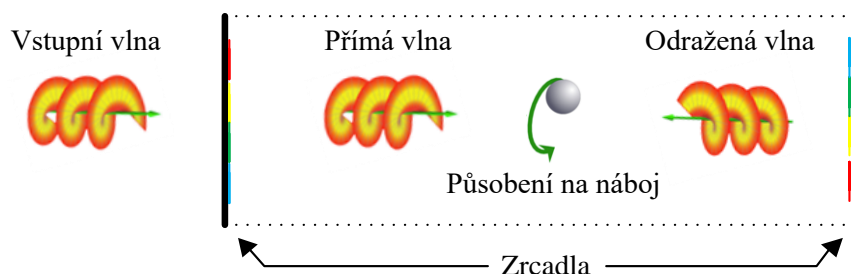
Bioenergetické vlny živých organismů mají charakter OAM vln. Jak bylo psáno dříve, OAM vlny mohou mít vliv na interakci se sub-částicemi elektronu, protonu nebo neutronu v atomových jádrech a mohou ovlivnit fázi jejich vnitřních vln. OAM vlny můžou zpomalovat nebo urychlovat fázi vnitřních vln a tím ovlivňovat vlastnosti jemné struktury živé hmoty. Bioenergetické vlny jsou levotočivé (ve směru šíření vln se fáze snižuje ve směru hodinových ručiček).



Obr. 9 Spirálové tvary elektromagnetického pole charakterizované vlnoplochou ve tvaru spirály s optickým vírem ve středu a v ose šíření. Vlevo je znázorněná vlna, uprostřed fáze vlnoplochy a vpravo je intenzita vlny, [12].

### Princip činnosti akumulátoru bioenergie

Princip činnosti akumulátoru bioenergetického pole je velmi podobný jako u laserového zdroje. U něj generované laserové světlo prochází do rezonátoru složeného ze dvou zrcadel ve vzdálenosti odpovídající  $n$  násobku vlnové délky světla. Světlo projde rezonátorem a odrazí se od zrcadla a šíří se zpět. V tomto směru se nachází zrcadlo druhé. Paprsek světla se od druhého zrcadla odrazí a šíří se zpět. V případě paralelního nastavení zrcadel bude paprsek světla probíhat neustále v prostoru mezi zrcadly. Vzdálenost mezi zrcadly je celistvým násobkem vlnové délky světla. Příchodem dalších paprsků světla z generátoru se bude intenzita světla zvyšovat, akumulovat.



Obr. 10 Princip akumulátoru bioenergie.

U akumulátorů bioenergetických vln (Obr. 10) je to podobné. Je třeba vytvořit prostor ohraničený dvěma zrcadly (vrstvami nebo hmotami odrážející bioenergetické vlny). Vzdálenost

mezi zrcadly odpovídá  $n$  násobku vlnové délky vln. Zrcadla však musí vlny propouštět jen v jednom směru. Ve druhém směru musí ideálně vlny odrazet. Vstupní vlna projde zrcadlen a šíří se v prostoru akumulátoru. Po dopadu na druhé zrcadlo se odráží a šíří se zpět. Směr rotace vlny (pozorované ve směru šíření vlny) se nemění. Odražená vlna se na prvním zrcadle opět odráží a takto se šíří uvnitř akumulátoru. Působení přímých a odražených vln na náboj se sčítá. Za těchto podmínek je možné vytvořit prostor s vyšší intenzitou bioenergetických vln. Maximální intenzita vln odpovídá převrácené hodnotě míry potlačení vln v nepropustném směru zrcadla.

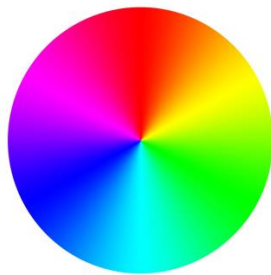
Pro konstrukci akumulátorů bioenergetických polí je důležité vytvořit polopropustné zrcadla pro tato pole. Popis různých typů polopropustných zrcadel je uveden v [13]. V tomto textu se zabýváme jen zrcadly vytvořenými polárními duhovými poli.

Pro akumulátory sloužící k ovlivnění lidských buněk a tkání je důležité, aby akumulátor v aktivním prostoru měl vyšší pozitivní bioenergii a minimální nebo nulovou negativní bioenergii. To znamená, že pozitivní bioenergie má procházet dovnitř akumulátoru a neprocházet ven z akumulátoru. Negativní bioenergie má procházet ven z akumulátoru a ne dovnitř. Pozitivní bioenergetické vlny jsou levotočivé a negativní bioenergetické vlny jsou pravotočivé.

## Polární duhové pole

Intuitivně a experimentálně byl pro polopropustné zrcadlo použit kotouč duhových barev v polární rovině, polární duhové pole (PDP), Obr. 11, [14]. Barvy ve viditelné oblasti přecházejí ve směru chodu hodinových ručiček od fialové, přes červenou, žlutou, zelenou, modrou až znovu po fialovou. Každá barva je tvořena látkou, která se světelnými paprsky interaguje a kmitá na frekvenci odpovídající příslušné barvě. Barva červená má nejnižší frekvenci 480 – 405 THz (625 – 750 nm), žlutá 530 – 510 THz (565 – 590 nm), zelená 580 – 530 THz (520 – 565 nm), modrá 790 – 700 THz (430 – 500 nm). Platí, že frekvence je rychlost změny fáze vln. Proto modrá barva odpovídá velké rychlosti fázové změny a červené barva malé rychlosti fázové změny.

Pozitivní bioenergetické vlny jsou levotočivé. To znamená, že při šíření vln narůstá fáze vln proti směru chodu hodinových ručiček. Ve směru šíření vln se tedy jejich fáze snižuje ve směru chodu hodinových ručiček. Budou-li bioenergetické vlny dopadat na barevný disk podle Obr. 11 (směrem od pozorovatele), bude jejich fázová změna opačná, než fázová změna rezonance příslušné barvy. Vzájemná interakce vln bude minimální, protože rychlosti fázových změn jsou opačného charakteru. Výsledkem interakce vln bude odraz bioenergetických vln od polárního duhového pole (PDP), přičemž smysl rotace odražených vln (pozorované ve směru šíření vlny) v prostoru před polárním duhovým polem bude stejný, jako vln dopadajících. Směr šíření odražené a dopadající vlny je opačný (Obr. 10). Obě vlny ovšem působí na nabitě těleso uvnitř rezonátoru stejně a působící síly se sčítají.

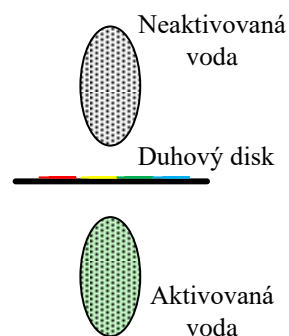


Obr. 11 Polární duhové pole.

V případě dopadu pozitivních bioenergetických vln ze zadní strany zrcadla se shoduje smysl změny fáze vln a rezonující hmoty, odpovídající barvě. Z toho vyplývá, že bioenergetické vlny prochází duhovým kotoučem ze zadní strany na stranu přední. Celkově duhový kotouč je pro bioenergetické vlny ideálně polopropustný. Je-li propustnost v jednom směru 1, ve druhém směru je  $1 \cdot 10^{-5}$ . Z toho vyplývá, že pozitivní bioenergetické vlny prochází zvenku do akumulátoru a z akumulátoru vychází ven jen nepatrné množství vln.

V případě dopadu negativních bioenergetických vln z přední strany na duhový disk, budou se shodovat smysly fázových změn bioenergetických vln a rezonující hmoty odpovídajících barev. V tom případě vlny diskem projdou. Dopadají-li negativní bioenergetické vlny na zadní stranu disku, vlny diskem neprojdou a odrazí se zpět. Z toho vyplývá, že negativní bioenergetické vlny se odráží od zadní strany duhového disku podle Obr.

Byl proveden následující experiment: Pod duhový disk byla vložena kádinka s aktivovanou vodou. Nad duhový disk byla položena kádinka neaktivované vody. Obě vody se lišily velikostí násobku energie vůči okolí. Za definovanou dobu (30 min) byly stanoveny velikosti násobku energie. V uspořádání podle obrázku došlo k vyrovnání energií obou vod. Bylo využito způsobu aktivace vody, která funguje jen na svislé ose.



*Obr. 12 Uspořádání experimentu pro stanovení polopropustnosti duhového disku.*

Potom byl duhový disk obrácen, původně neaktivovaná voda byla pomocí ultrazvuku deaktivována. Po 30 min. byly porovnány energie obou vod. V tomto uspořádání nedošlo k aktivování vody. Bioenergetické vlny neprošly duhovým diskem a neaktivovaly vodu nad duhovým diskem.

V další části byla použita negativně na člověka působící voda. Ta má opačný smysl rotace molekul. V případě uspořádání podle Obr. , voda nad diskem se neaktivovala, a při otočení duhového disku se voda aktivovala.

Z experimentu vyplývá, že pozitivní vlny procházejí duhovým diskem podle Obr. 12 ze zadní strany a od přední strany se odrážejí. Naopak, negativní bioenergetické vlny se odrážejí od zadní strany duhového disku a procházejí, dopadají-li od strany přední.

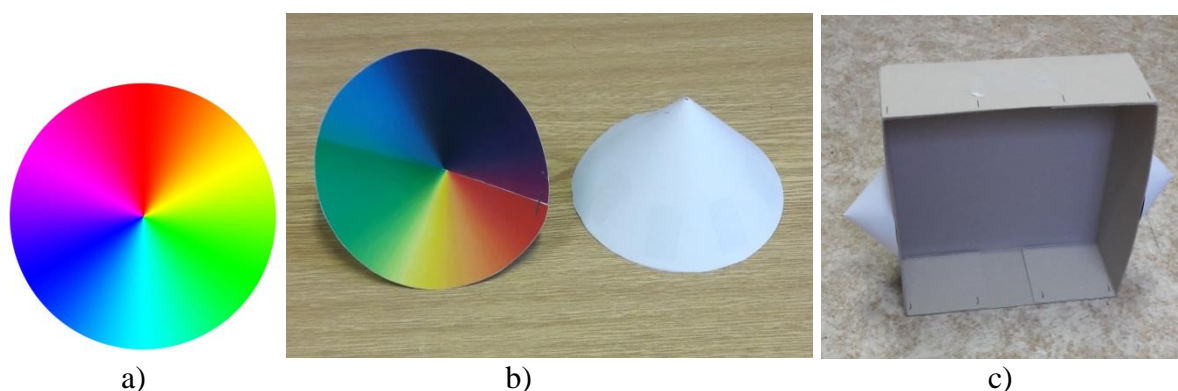
## **Akumulátor s duhovými poli**

Akumulátor s duhovými poli využívá polopropustných vrstev tvořených barevným spektrem v optické oblasti. Pomocí nich se vytvoří rezonátor pro bioenergetické pole [14]. Polopropustná vrstva je tvořena barevným duhovým diskem v polární rovině. Příklad takové roviny je na Obr. 11 a Obr. 13a. Duhové spektrum je spojitě a v oblasti fialové barvy směrem od modré (vysoká frekvence) a od červené barvy (nízká frekvence) je spojené. Důležité je dodržet směr

barev (při pohledu na duhové spektrum), tj. proti směru hodinových ručiček se střídá modrá, zelená, žlutá, červená.

Akumulátor je v podstatě rezonátor pro bioenergetické vlny. Je tvořen dvěma polárními rovinnými duhovými poli postavenými barevnou duhou k sobě. Protože bioenergetické vlny mají velmi vysoké frekvence, výrazně nezáleží na vzdálenosti duhových polí od sebe. Vlnová délka vln je tak malá, že nelze nastavit přesně rozteč duhových polí.

Jednotlivé barvy interagují se změnami fází procházejících pozitivních bioenergetických vln. Pro ovlivnění atomů a molekul vody mají bioenergetické vlny orbitální úhlový moment a způsobují kruhový pohyb vln uvnitř atomů, protonů a neutronů. V případě otočení směru střídání barev je kruhový pohyb vln obrácený. V akumulátoru roste negativní bioenergetické pole. Takové pole je pro živé organizmy nevhodné a zhoršuje funkci např. buněk.



Obr. 13 Akumulátor s duhovými poli, a) polární duhové spektrum v rovině, b) polární duhové spektrum na vnitřní straně kuželu, c) akumulátor s duhovými poli.

Bioenergetické vlny z vnějšího prostředí vnikají (z obou stran) do akumulátoru. Přicházející (primární) vlna projde duhovým polem do akumulátoru a na druhé straně rezonátoru dojde až k duhovému poli. Jeho barvy se střídají protisměru otáčení hodinových ručiček (modrá, zelená, žlutá, červená). Takovým duhovým polem vlna neprojde a odrazí se zpět do rezonátoru. Směr otáčení této sekundární (odražené) vlny (pozorované ve směru šíření vlny) je však stejný, jako vlny primární. Také působení primární i sekundární vlny na elektrický dipól (elektron, atomové jádro) bude stejné. Pokud se sekundární vlna dostane na druhou stranu k duhovému poli, opět neprojde a odrazí se. Polopropustnost polárního duhového pole je důvod, proč vlny z rezonátoru neprojdou do vnějšího prostoru a dochází ke kumulaci vln v akumulátoru. Postupně se zvyšuje celková energie v rezonátoru. Bioenergetické vlny se udržují ve válci mezi duhovými poli. Úroveň energie v porovnání s energií vln mimo rezonátor neustále roste, přičemž limit energie souvisí se ztrátami rezonátoru. Ty byly odhadnuty na  $1,25 \cdot 10^{-4}$ . Z toho plyne, že limit násobku okolní energie je 8000.

Tabulka 9 Vlastnosti akumulátorů s duhovými poli.

Typ akumulátoru	Násobek energie*	$D^* / m.j.$	$f_{max}^* / 10^x$
Akumulátor s duhou v rovině	40	2100	75
Akumulátor s duhou na kuželi	70	2100	75

\*po hodině působení



Ještě výhodnější akumulátor je možné vytvořit z polárních duhových polí rozložených ne v rovině, ale v podobě kuželu. Barvy duhy mají stejný směr, jako u rovinného polárního duhového pole a jsou umístěny na vnitřní straně kuželu (Obr. 13b). Optimální vrcholový úhel kuželu je  $100^\circ$ . Akumulátor je opět sestaven ze dvou duhových kuželů postavených vnitřními stranami k sobě (Obr.13c). Aktivní pole s vysokou energií bioenergetického pole je uvnitř válce mezi oběma kuželi. Limit násobku okolní energie je u kuželového akumulátoru 100000.

Zhodnocení pole akumulátorů s duhovými poli je uveden v Tab. 9. Po hodině působení na molekuly vody bude násobek energie v porovnání s okolím 40x u akumulátoru s rovinným duhovým kotoučem a 70x u akumulátoru s kuželovými duhovými kotouči.

Podle Tab. 9 kuželové polární duhové pole propouští s minimálním útlumem pozitivní bioenergetické vlny zvenčí do akumulátoru a naopak z vnitřního do venkovního prostoru procházejí vlny s velmi vysokým útlumem. Protože negativní bioenergetické vlny mají obrácený směr rotace, projdou z rezonátoru ven a neprojdou dovnitř. Z toho vyplývá důležitá okolnost, která výrazně odlišuje tento typ akumulátoru od všech dříve uvedených akumulátorů. **Akumulátor s duhovými poli zvyšuje pozitivní bioenergetické vlny a potlačuje negativní bioenergetické vlny.** U dříve vytvořených akumulátoru tomu tak není. Tento fakt je důležitý především pro použití při terapii pomocí energetických polí.

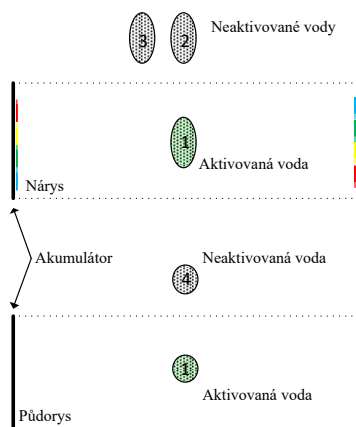
### Bioenergetické pole uvnitř a vně akumulátoru

Pro stanovení bioenergetického pole v akumulátoru i mimo něj byl proveden následující experiment (Obr. 14). Do středu akumulátoru byla umístěna lahvička s vodou (č. 1) po dobu 1 hodiny. Po stejnou dobu byly v okolí akumulátoru rozmístěny další tři lahvičky s neaktivovanou vodou. První z nich, č. 2 byla umístěna nad akumulátor na svislici nad vodou č. 1, (1 cm nad akumulátor). Tato charakterizuje vlny ve svislé ose. Ve vzdálenosti 2 cm od vody č. 2 byla nad akumulátor umístěna voda č. 3. Voda č. 4 byla umístěna ve vodorovné ose 1 cm mimo akumulátor a ve svislé rovině s vodou č. 1.

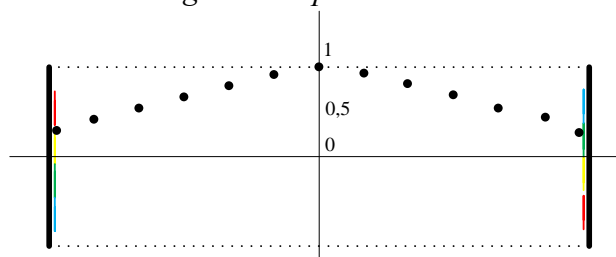
Po hodině se voda č. 1 aktivovala na  $n = 40$ . Voda č. 2 měla  $n = 9$ , voda č. 3 měla  $n = 1$  a voda č. 4 měla  $n = 1$ . Z experimentu vyplývá, že voda č. 2 se aktivuje přenosem vln z vody č. 1. Jde o běžný způsob aktivace vody přenosem z vody referenční. Ostatní vody se neaktivovaly, protože mimo akumulátor aktivační bioenergetické pole není. **Také je třeba si uvědomit, že bioenergetické pole aktivované vody není totožné s bioenergetickým polem uvnitř akumulátoru. Dochází jen k interakci obou těchto polí.**

Průběh bioenergetického pole uvnitř akumulátoru (vzdálenost mezi zrcadly je 200 mm) je znázorněn na Obr. 15. Od středu k zrcadlům postupně klesá. Podmínkou je, že fialová barva polárního duhového disku je ve stejném směru u obou zrcadel (např. ve svislé rovině). Není-li tato podmínka splněna, maximum energie se posouvá vpravo nebo vlevo podle velikosti a úhlu vzájemného pootočení. V případě větší vzdálenosti mezi zrcadly jsou maxima v blízkosti zrcadel a uprostřed akumulátoru pole klesá. Pokles závisí na vzdálenosti mezi zrcadly. Ve vzdálenosti zrcadel od sebe 1000 mm bude pole uprostřed akumulátoru menší než 10%.





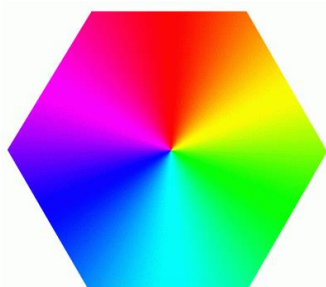
Obr. 14 Stanovení bioenergetického pole uvnitř a vně akumulátoru.



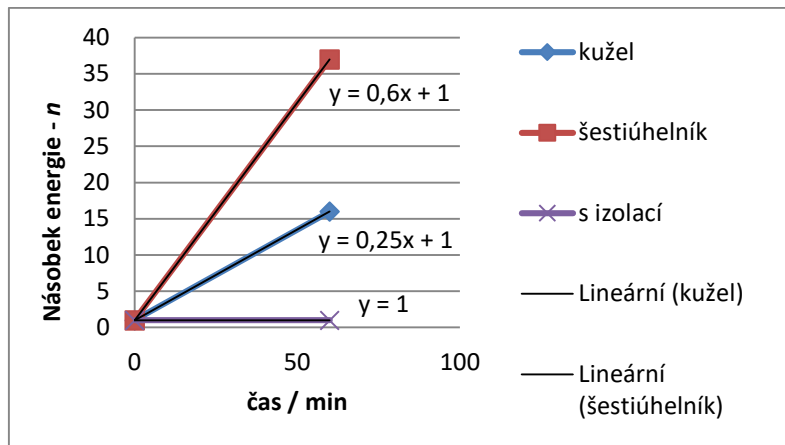
Obr. 15 Průběh intenzity bioenergetického pole na ose akumulátoru.

### Akumulátor pro aktivaci vody z několika směrů

V předchozích experimentech byl akumulátor vytvořen z duhových kruhů nebo kuželů. Voda byla aktivována jen v jednom směru. Pro ověření myšlenky, zda aktivace vody bude rychlejší v případě, že rezonátor bude na vodu působit z několika směrů, byly vytvořeny dva akumulátory. Jeden z duhového šestiúhelníku podle Obr. 16 vlevo a Obr. 16 uprostřed a druhý ze stejných duhových šestiúhelníků, ale sestavených do tří rezonátorů otočených o 60 stupňů, Obr. 16 vpravo. Neaktivovaná voda v kyvetách byla umístěna uprostřed akumulátorů.



Obr. 16 Akumulátory s duhovými šestiúhelníky, vlevo duhové zrcadlo, uprostřed v jedné směru a vpravo ze tří směrů.



Obr. 17 Nárůst energie vody po 60ti minutové aktivaci v akumulátoru se dvěma a třemi duhovými kužely a s vnější izolací vln.

Po hodině aktivace byl násobek energie u jednoho rezonátoru 16 a 37 u trojice rezonátorů, Obr. . Z tohoto experimentu vyplývá, že pro aktivaci vody nezávisí, v jakém směru působí bioenergetické vlny. Je to dáno náhodným směrovým rozložením molekul vody. Bude-li počet rezonátorů větší a budou-li rozloženy v různých směrech, bude aktivace vody nebo působení na buňky větší a rychleji se dosáhne energetického limitu. Vhodné uspořádání pro rychlejší aktivaci vody je v podobě fotbalového míče.

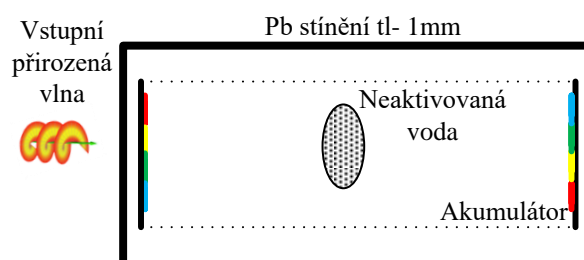
## O jaké vlny se jedná?

Pro charakterizování typů vln, které působí aktivaci vody, byly udělány dále popsané experimenty.

### Stínění akumulátoru

Byl vytvořen akumulátor s rovinnými polárními duhovými poli ve vzdálenosti 180 mm od sebe. Zároveň bylo vytvořeno stínění z oloveného plechu tl. 1 mm, Obr. 18. Stínění bylo umístěno tak, aby stínilo vstupní vlny na obou stranách akumulátoru. Olovené stínění propouští jen vlny záření  $\alpha$ ,  $\beta$ ,  $\gamma$  a vlny vyšších frekvencí.

Nejprve bylo odstraněno Pb stínění a do středu akumulátoru byla vložena kyveta s neaktivovanou vodou a to po dobu 1 min. Poté byla voda vyjmuta a stanoven násobek energie vůči okolí. Ten byl  $n = 4$ .



Obr. 18 Test akumulátoru s Pb stíněním pro odstínění některých frekvenčních pásem.

Za druhé byl akumulátor obložen Pb stíněním a na 1 min. byla do něj vložena kyveta s neaktivovanou vodou a byl stanoven násobek energie  $n = 1$ . Olověné stínění tedy izolovalo akumulátor od vnějších přirozených vln a voda se neaktivovala.

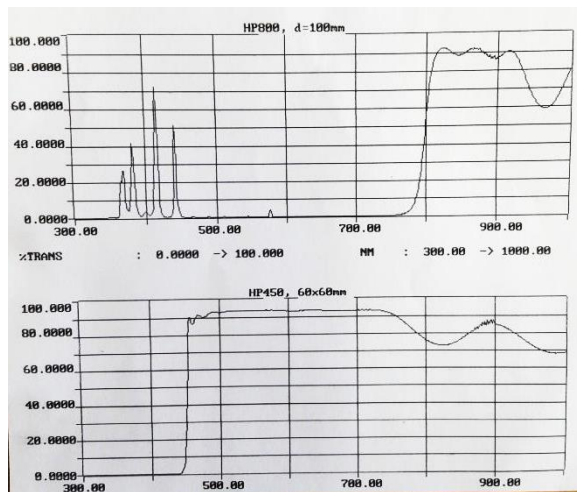
Vstupní přirozené vlnění bylo v dalším experimentu nahrazeno  $\gamma$  – zářením a  $\beta$  – zářením z vnějšího zdroje. Zdroj záření byl umístěn zvenku před Pb stíněním a v ose akumulátoru. Záření mimo rezonátor vytvářelo pole v rezonátoru. Po vložení vody do rezonátoru na 1 min. došlo k její aktivaci. Pro záření  $\beta$  bylo  $n = 8$  a pro záření  $\gamma$  bylo  $n = 14,5$ . Přehled výsledků je uveden v Tab. 10.

Stroncium 90 ( $^{90}\text{Sr}$ ) je beta zářič, s poločasem rozpadu 28,8 let. Energie elektronů (beta-) je 0,546 MeV, tomu odpovídá vlnová délka 2,27 pm. Americium 241 ( $^{241}\text{Am}$ ) je zářič alfa+gama (jeden rozpad generuje jednu alfa-částici a k tomu foton gama). Energie gama fotonu je 59,54 keV. Tomu odpovídá vlnová délka 20,8 pm. Pro kontrolu zdroje záření byl použit čítač impulsů REP 921.

Vnější Pb stínění akumulátoru je možné nahradit filtry s propustným pásmem v oblasti IR vln nebo viditelném spektru a IR. Tím je možné odlišit, ve kterém frekvenčním pásmu jsou vlny, aktivující molekuly vody.

*Tabulka 10 Násobek energie v porovnání s okolím pro vodu v rezonátoru s různými zdroji záření. Působení trvalo 1 minutu.*

Zdroj záření, rezonátor zvnějšku izolován Pb	Násobek energie okolí - $n$
přirozené záření bez Pb stínění	4
přirozené záření s Pb stíněním	1
$\gamma$ - záření	14,5
$\beta$ - záření	8



*Obr. 19 Propustnost použitých filtrů. Nahoře filtr propouštějící IR vlny, dole filtr propouštějící vlny ve frekvenčním pásmu IR a ve viditelném pásmu.*

Na Obr. 19 jsou znázorněny spektra propustnosti dvou typů filtrů. První filtr propouští vlny ve frekvenčním pásmu IR a ve viditelném pásmu. Pro ověření účinku IR záření je třeba použít oba filtry. Odstraní se tím propustnost 4 vlnových délek v ultrafialové oblasti.

Pokud nebudeme akumulátor stínit, ale použijeme-li filtry s různým spektrem propustnosti, můžeme usoudit na vlastnosti vln a jejich vlnovou délku. Pro tento experiment byl použit rezonátor sestavený z duhových polárních rovinných šestiúhelníkových polí (Obr. 16 uprostřed) ve vzdálenosti 115 mm od sebe. Celý rezonátor byl i s kyvetou naplněnou neaktivovanou vodou umístěn na 5 min. do magneticky izolovaného prostoru. Tím se sníží

násobek energie vůči okolí na velikost  $n = 0,2$ . Potom vyjmeme akumulátor i se vzorkem vody z izolovaného prostoru a přiložíme filtr z obou stran z vnější strany akumulátoru. Po 1 min. vyhodnotíme hladinu energie vody. Výsledek pro různé filtry je uveden v Tab. 11.

Tabulka 11 Úroveň aktivace vody v akumulátoru pro vlny různých vlnových délek.

Typ filtru	Násobek energie vody, $n$
Bez filtru	5
Bez filtru se zatměním akumulátoru	4,6
Filtr propouštějící jen IR vlny	1
Filtr propouštějící IR a viditelné vlny	4,7
Bez filtru s budícím polem 1,8 GHz (mobil)	9
Bez filtru se slunečním osvětlením z jedné strany	8,3

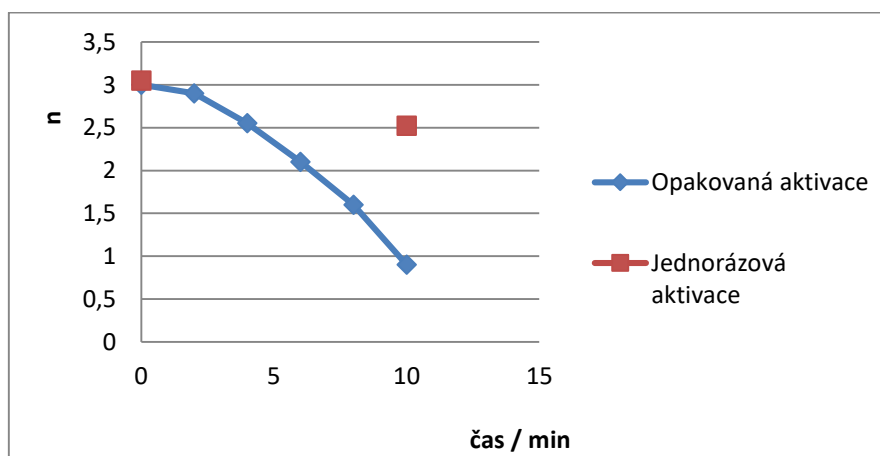
Závěr tohoto experimentu je, že pro filtr propouštějící jen IR vlny nedochází k aktivaci vody. Je pravděpodobné, že není proměřeno propustné pásmo filtrů v pásmu UV (vlnová délka kratší než 300 nm) a pro kratší vlnové délky. Vlny v těchto vlnových pásmech mohou aktivovat vodu. Tento předpoklad je zřejmý při použití Pb stínění.

## Doba uchování energie

Do akumulátoru bioenergetického pole (rezonátoru s duhovými poli) vstupuje vlnění, a protože neodchází ven z akumulátoru, dochází k nárůstu energie. Existuje energetický limit, související se schopností polopropustných stěn propustit vlnění ven z akumulátoru.

### Pokus 1

Pokud energie vstupuje do akumulátoru a nevystupuje z něj ven, dochází k nárůstu energie. Pokud izolujeme akumulátor od vnějšího pole, energie se v něm udrží. K tomu účelu byl proveden následující pokus. Pro stanovení poklesu energie v duhovém rezonátoru byl rezonátor zvenku odstíněn od okolí Pb plechem tl. 1 mm. Gama zářič byl vložen po dobu 1 min spolu s neaktivovanou vodou do středu rezonátoru, potom vyjmut a voda změřena. Po minutě klidu byla opět vložena neaktivovaná voda do rezonátoru na dobu 1 min a pak opět měřena. Tyto kroky se opakovaly. Druhé měření proběhlo podobně, ale byl proveden první krok a pak po 9 minutách krok poslední. Výsledky měření jsou uvedeny na Obr. 20.



Obr. 20 Časový pokles energie v akumulátoru.

Akumulátor je odstíněn od vnějších polí Pb plechem. Při vložení zdroje záření na dobu 1 min. dovnitř akumulátoru a jeho následným vyjmutím se definují počáteční podmínky pro měření. Pro následující měření má energie vždy stejnou úroveň. Aktivací definovaného objemu neaktivované vody po dobu 1 min. se z akumulátoru odebere jistá část energie. Úroveň aktivace je úměrná energii v akumulátoru. Pro každou aktivaci se spotřebuje energie, a proto při pravidelné aktivaci vody se energie akumulátoru rychle snižuje.

V případě, že vytvoříme definované počáteční podmínky a vodu aktivujeme např. po 9 minutách, lze podle úrovně aktivace vody stanovit pokles energie akumulátoru za dobu 10 min. Pokles energie akumulátoru po 10 min. odpovídá aktivaci vzduchu v průběhu měření.

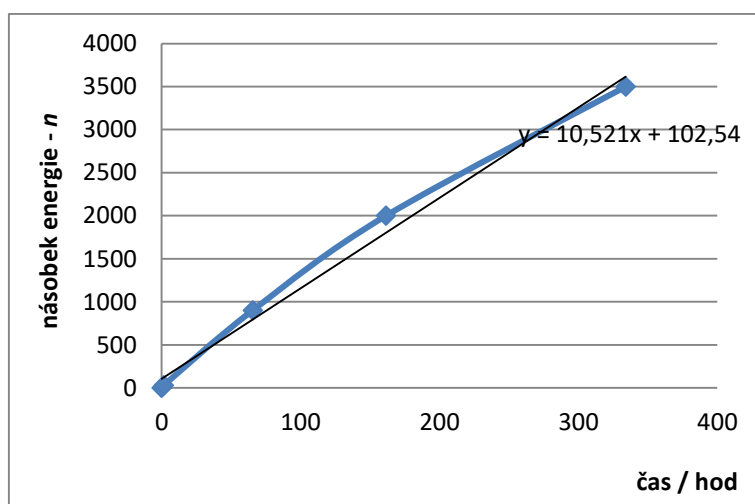
## Pokus 2

Pro rozlišení, zda pole akumulátoru se zvýší v krátkém čase, nebo zda se aktivace vody pomalu zvyšuje, byl proveden následující pokus. Na počátku pokusu byl vytvořen akumulátor z duhových kuželů a byla do něj vložena neaktivovaná voda na dobu 1 min. Po 1 min. byla voda vyjmuta z akumulátoru a stanoven násobek energie vody  $n$ . Po celou dobu pokusu akumulátor zůstal sestavený. Po pěti minutách byla opět vložena do akumulátoru neaktivovaná voda a po jedné minutě byl stanoven násobek energie  $n$ . Tento postup se opakoval po 5 minutách.

Hodnoty takto aktivovaných vod po 30 minutách měření byly  $n = 2,8$ . Z pokusu vyplývá, že akumulátor bude mít limitní energii v krátkém okamžiku. Aktivace vody trvá dlouhou dobu. Je to pravděpodobně dáno tím, že na molekuly vody působí síly vytvořené vlnami jen ve směru osy akumulátoru. Brownovým pohybem molekul se mění jejich poloha v prostoru. Tak se postupně aktivují molekuly vody ve všech směrech. Testem násobku energie stanovujeme velikost celkové energie, přičemž nezáleží na směru postavení molekul vody.

## Pokus 3

Byla zkoušena aktivace vody v akumulátoru a zvyšování její energie. Byl sestaven akumulátor s duhovými kužely o průměru 12 cm a ve vzdálenosti 40 cm. Do středu akumulátoru byla vložena kyveta (průměr 20 mm, délka 60 mm) naplněná neaktivovanou vodou. V určitých časech byla kyveta vyjmuta a měřena její energie. Výsledek testu je na Obr. 21.



Obr. 21 Časový nárůst energie vody v akumulátoru.

Ve sledovaném časovém úseku nebyl pozorován exponenciální nárůst energie, který lze předpokládat. V limitě by násobek energie měl být až 100000, což by odpovídalo aktivaci po dobu 460 dní.

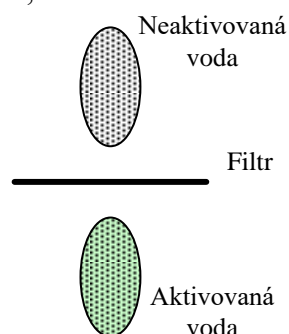
## Aktivace vody přenosem vlnění z vody referenční

Jak bylo popsáno dříve, vodu je možné aktivovat také přenosem z jiné aktivované vody. Uspořádání experimentu je znázorněno na Obr. 22. Ve svislé ose nad aktivovanou vodu umístíme neaktivovanou vodu. Mezi obě vody umístíme příslušný filtr.

Pokud mezi oběma vodami není umístěn filtr, vlny aktivované vody vytvoří takovou konfiguraci elektromagnetického pole v neaktivované vodě, že se molekuly neaktivované vody ovlivní a tato voda se za krátkou dobu aktivuje a obě vody budou mít stejné vlastnosti.

Jako filtr byly použity filtry z předchozího experimentu, Pb deska tloušťky 6 mm, nerezový plech tl. 0,05 mm a Cu plech 0,1 mm. Výsledky aktivace vody tímto způsobem jsou uvedeny v Tab. 12.

Z experimentu vyplývá, že vlny aktivované vody mohou být z frekvenční oblasti záření  $\alpha$ ,  $\beta$ ,  $\gamma$ . Pb stínění tyto vlny neodstíní, a mohou se zúčastnit aktivace vody.



Obr. 22 Uspořádání experimentu pro stanovení aktivování vody přenosem přes filtr.

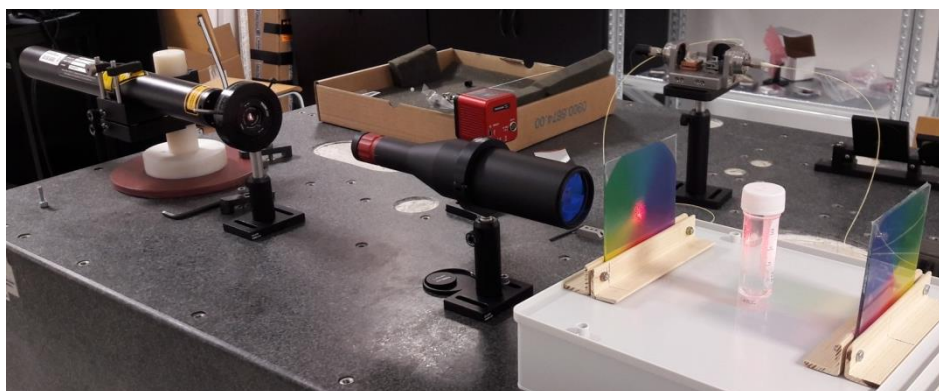
Tabulka 12 Úroveň aktivace vody přenosem pro různé typy filtrů.

Typ filtru	Násobek energie - $n$
Bez filtru	4
Filtr propouštějící IR a viditelné vlny	2
Filtr propouštějící jen IR vlny	1
Pb deska	1
Nerezový plech	4
Měděný plech	4

## Aktivace vody laserem

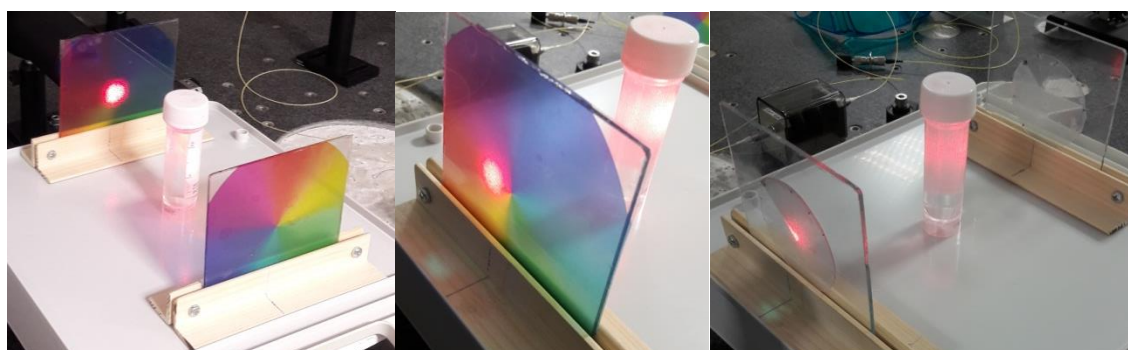
Abychom získali nějaké informace o vlnění v akumulátoru a jeho frekvenčním rozsahu, bylo experimentálně zkoušeno koherentní záření červeného laserového záření a jeho vliv na energii v akumulátoru. Sestava experimentu je znázorněna na Obr. 23 a Obr. 24. Vlevo je červený laser s rovinnou polarizací. Světelnému paprsku se mění polarizace na kruhovou a tenký svazek se rozostří na velikost 20 mm. Je to proto, že stěna rezonátoru má plošný polární duhový disk a je třeba, aby paprsek procházel středem disku a zároveň všemi barvami. Ty definují rezonanční frekvence ve světelné oblasti. Dále světelný paprsek prochází dovnitř akumulátoru přes jeden duhový disk. Zde předpokládáme, že se mění na paprsek s OAM vlastnostmi a má vliv na molekuly vody v akumulátoru.



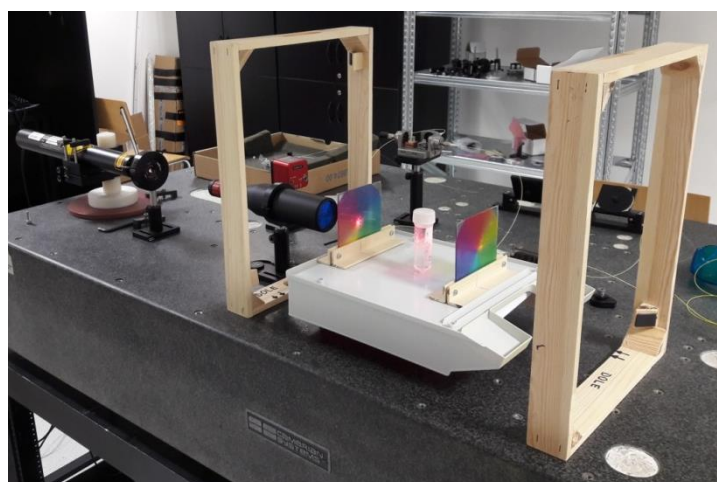


*Obr. 23 Sestava laserového experimentálního měření.*

Pro stanovení energie v akumulátoru byl postup následující. Byl sestaven akumulátor, po dobu 1 minuty bylo akumulováno elektromagnetické pole, a potom byla na 1 minutu do středu akumulátoru vložena kyveta s neupravenou deionizovanou vodou. Takto byla definována doba akumulace energie i doba působení pole na molekuly vody. Po vyjmutí byla voda testována na velikost násobku energie vůči okolí a to pro pozitivní ( $n+$ ) a negativní ( $n-$ ) energii. Po vyjmutí vody byl zrušen akumulátor a vody byla po změření mechanicky vrácena do neuspořádané struktury a zajištěn stejný počáteční stav.



*Obr. 24 Vlevo je rezonátor s testovanou vodou, vytvořený z polárních rovinných duhových disků. Uprostřed je stejný rezonátor, ale celý svazek prochází jen oblastí červené barvy. Vpravo je rezonátor vytvořený dvojicí desek s proměnnou tloušťkou v polární rovině.*



*Obr. 25 Sestava laserového experimentálního měření s odstíněním okolního elektromagnetického pole*

Byly provedeny následující experimenty:

1. Stanovena energie neaktivované vody.
2. Byl zjištěn vliv laserového paprsku s kruhovou polarizací (LPK) na neaktivovanou vodu.
3. Bylo ověřeno působení LPK procházející jedním duhovým diskem na neaktivovanou vodu a to pro obě strany disku (D+ a D-). Tím bylo ověřováno vytváření pozitivní a negativní energie.
4. Byl zopakován bod 3. Jen s tím rozdílem, že akumulátor byl umístěn uvnitř prostoru s magnetickým stíněním (MagS). Tímto stíněním se odizoluje akumulátor od okolního přirozeného elektromagnetického pole, které nabíjí akumulátor. Sestava je znázorněna na Obr. 6.
5. Byl charakterizován vliv laserového paprsku s rovinnou polarizací na pole v akumulátoru (A) a to akumulátoru s pozitivní a negativní energií (A+ a A-).
6. Bod 5. Byl opakován, ale s magnetickým stíněním.
7. Pro ověření podmínky průchodu laserového paprsku středem duhového disku, byl paprsek posunut do oblasti červené barvy a zjištěna energie vody, Obr. 23.
8. Byly opakovány body 2, 3 a 4 s tím rozdílem, že byl použit paprsek jen s rovinnou polarizací.
9. Byly opakovány body 3 a 4 bez a s magnetickým stíněním, ale duhové disky byly nahrazeny spirálními fázovými disky pro pozitivní i negativní energii (Obr. 8).
10. Byly opakovány experimenty 5 a 6.

Výsledky experimentu jsou souhrnně napsány v Tab.13.

*Tabulka 13 Aktivace vody v různém uspořádání s použitím červeného laseru s kruhovou polarizací.*

Uspořádání	Působení na:	$n_+$	$n_-$
Neupravená voda, neovlivněná	V	0,4	0,4
LKP	V	1,0	1,0
LKP a D+	V	2,9	0,05
LKP a D-	V	0,09	2,7
LKP a D+ a MagS	V	0,08	0,093
LKP a D- a MagS	V	0,085	0,085
LKP a Deska+	V	4,8	2,5
LKP a Deska-	V	0,16	6,8
LKP a Deska+ a MagS	V	0,07	0,065
LKP a Deska- a MagS	V	0,05	0,05
LKP a A+	V	8,4	0,08
LKP a A-	V	1,2	8,8
LKP a A+ a MagS	V	0,1	0,09
LKP a A- a MagS	V	0,02	0,015
LKP a D+ mimo střed	V	0,55	0,45
LRP a A+	V	8,6	0,01
LRP a A-	V	0,07	8,0
LRP a A+ a MagS	V	0,1	0,12
LRP a A- a MagS	V	0,075	0,12
LRP	V	0,5	0,45
LRP a D+	V	0,7	0,6
LRP a D-	V	0,2	0,21

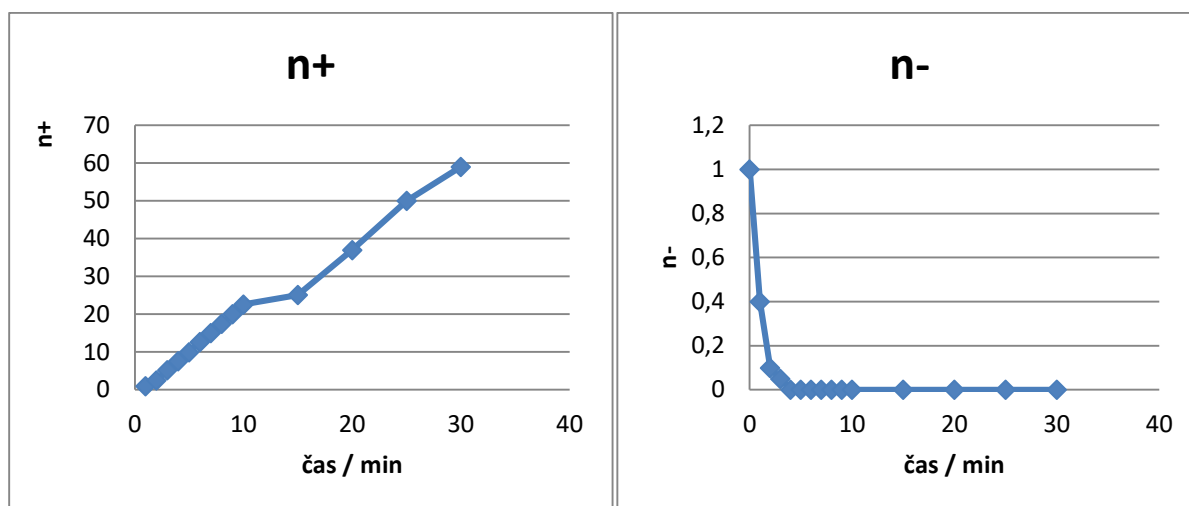
LRP a D+ a MagS	V	0,025	0,03
LRP a D- a MagS	V	0,16	0,15
A+ jen akumulátor	V	8,1	0,1
A- jen akumulátor	V	0,1	8,15

- V - Neaktivovaná voda
- L - Laser
- LKP - Laser s kruhovou polarizací
- LRP - Laser s rovinnou polarizací
- A+ - Akumulátor pozitivní energie
- A- - Akumulátor negativní energie
- D+ - Rovinný polární duhový disk pro pozitivní energii
- D- - Rovinný polární duhový disk pro negativní energii
- MagS - Magnetické stínění
- Deska+- spirální fázový disk pro pozitivní energii
- Deska- - spirální fázový disk pro negativní energii
- $n_+, n_-$  - násobek energie vůči okolí

Pro zajímavost byla určena časová závislost nárůstu aktivace vody při působení laserového paprsku na akumulátor s duhovými disky. Byl vytvořen akumulátor s duhovými disky a s působením LKP. V čase 0 min ihned po sestavení byla vložena kyveta s vodou a po minutě byl testován násobek energie pozitivní i negativní. Výsledek je uveden v Tab. 14 a na Obr. 26. Je samozřejmé, že existuje energetický limit. Ten je dán převrácenou hodnotou propustnosti akumulátoru směrem ven. Přibližně bývá asi  $n = 100000$ .

*Tabulka 14 Časová závislost aktivace vody v uspořádání: červený laser s kruhovou polarizací a A+.*

Čas / min	$n_+$	$n_-$
0	1	1
1	2,5	0,4
2	5,2	0,1
3	7,6	0,05
4	9,95	0,001
5	12,7	0
6	15,0	0
7	17,5	0
8	20,0	0
9	22,6	0
10	25,1	0
15	37,0	0
20	50,0	0
25	59,0	0
30	68,0	0



Obr. 26 Časový nárůst pozitivní a negativní energie v akumulátoru s duhovými (pozitivními) disky.

### Dílčí závěr o vlnách v akumulátoru

Výsledky uvedených experimentů ukazují na následující skutečnosti. V akumulátoru dochází k akumulaci energie až do určitého limitu. Vlnění prochází dovnitř přes polopropustné stěny z duhových polárních disků. Magnetické stínění je schopné izolovat akumulátor od vnějšího bioenergetického vlnění tím, že poruší uspořádání vln. Laserový paprsek se přímo neodráží, ale poruší interakci s bioenergetickým polem. To vede k myšlence, že v akumulátoru rezonuje bioenergetické elektromagnetické pole zatím neznámé frekvence a ne jiné, známé vlnění. Důležité však je, aby došlo k interakci např. laserového paprsku s bioenergetickým polem, je nutné, aby laserový paprsek měl kruhovou polarizaci s orbitálním úhlovým momentem. Proto v experimentu použitý spirální fázový disk (jde o kruhový disk s proměnnou tloušťkou v polární rovině) má stejný vliv na bioenergetické pole jako polární duhový disk. Pokud však laserový paprsek neprochází středem duhového disku, nebude akumulace energie pracovat. V akumulátoru dochází ke kumulaci pozitivní bioenergie a negativní bioenergie se snižuje k nule. V případě, že obrátíme směr změny duhových barev, situace se obrátí. Bude se kumulovat negativní bioenergie a pozitivní bioenergie se bude snižovat k nule.

### Polární a kuželové spirálové duhové pole

Intuitivně a experimentálně byl pro polopropustné zrcadlo použit kotouč duhových barev v polární rovině spirálově se stáčející ke středu, Obr. 27. Takový duhový kotouč lze nazvat polární spirálové duhové pole (PSDP). Smysl rozložení barev je stejný jako u polárního duhového pole (PDP - Obr. 13). Rozložení barev se od okraje ke středu pole stáčí proti směru chodu hodinových ručiček a stejná barva tvoří spirálu zlatého řezu. Tím dochází k rychlejší fázové změně na PSDP a k lepší shodě se změnou fáze bioenergetických vln.

Tvar spirály odpovídá **frekvenčnímu pásmu rezonujících barev duhového pole**. Jedná se tedy o rezonanci hmoty tvořící duhové pole. Pro hmotu ve frekvenční oblasti viditelného záření má být spirála stočena o 1,5 otáčky (Obr. 27). Pro oblast rentgenového záření o 1,2 otáčky. Pro oblast  $\gamma$  záření o 0,7 otáčky, Pro oblast  $\alpha$  záření o 0,4 otáčky. Pro oblast bioenergetických vln o 0 otáčky, což odpovídá optimálnímu polárnímu duhovému poli složeného z harmonizované

živé hmoty. Jde tedy o sestavení duhového pole z buněk rostlin uspořádané podle jejich rezonančních frekvencí, a to tak, že ve směru hodinových ručiček roste frekvence.



Obr. 27 Polární spirálové duhové pole, vlevo a kuželové spirálové duhové pole, vpravo.

PSDP ve svém okolí ovlivňuje atomy, strukturu živé hmoty a také parametr  $D$  a maximální frekvenci. Pro testování lze použít deionizovanou vodu a sledovat přírůstek energie podle násobku energie ve srovnání s energií okolí.

PSDP je možné použít buď jako stimulator, odrážející pozitivní vlny zpět k lidskému organismu, nebo vytvořit z něj akumulátor energie, podobně, jako tomu bylo v případě PDP podle Obr. 27.

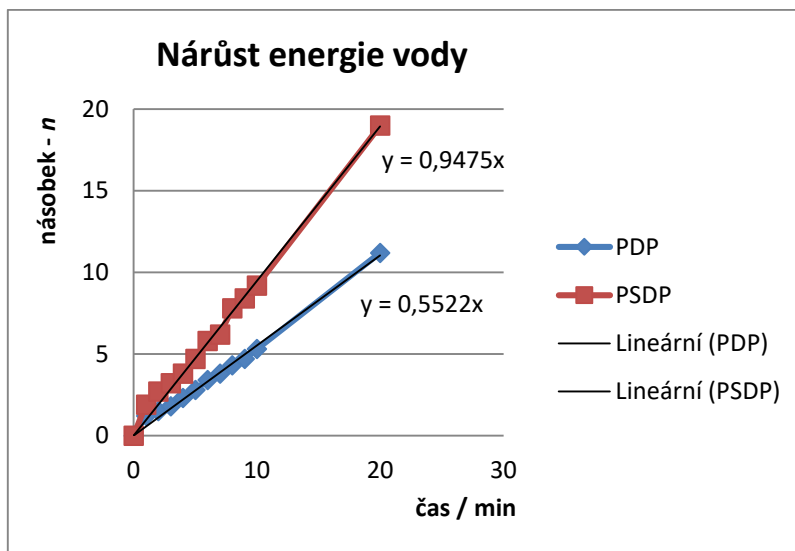
Experimentálně bylo zjištěno, že přenosy pozitivních a negativních bioenergetických vln jsou stejné, jako v případě polárních duhových polí. Vytiskneme-li PSDP podle Obr. 27 na papír, lze testovat průchodnost vln přes PSDP. Pozitivní vlny prochází přes PSDP pokud přichází ze strany papíru. Pokud pozitivní vlny dopadnou na barevnou stranu, odrazí se zpět, přičemž směr otáčení vln ve směru šíření je opačný. Síly působící na náboj dopadajících a odražených vln jsou však stejného směru. V případě negativních bioenergetických vln je průchodnost opačná. Přicházejí-li z barevné strany, projdou. Přijdou-li ze strany papíru, odrážejí se zpět.

Bylo také provedeno porovnání nárůstu energie u dvou stimulatorů a to PDP a PSDP. Výsledek je uveden na Obr. 28. U stimulatoru PSDP je nárůst energie přibližně dvojnásobný než u stimulatoru PDP. Upravíme-li PSDP do kuželového tvaru, podobně jako tomu bylo na Obr. 13b a Obr. 13c, vytvoříme kuželové spirálové duhové pole (KSDP) a ze dvou KSDP sestavíme akumulátor, získáme akumulátor s výrazně lepšími vlastnostmi ve srovnání s akumulátorem s PSDP, Obr. 27 vpravo. Voda po minutě působení pole v akumulátorech různých typů bude mít vyšší energii.

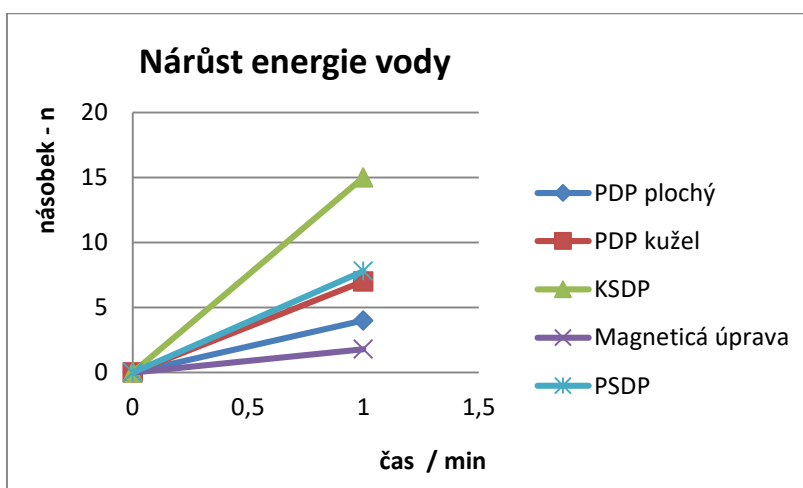
Tabulka 15 Porovnání vlastností vody po jednodominutové aktivaci v akumulátorech různého typu.

veličina	PDP ploché	PDP kuželové	PSDP	KSDP	magnetické úprava
	0	0	0	0	0
$n$	4	7	7,8	15	1,8
$D / m \cdot j$	200	400	500	1200	85
$f_{\max} / 10^x \text{ Hz}$	75	75	75	75	35
$n$ pro $f=10^{60} \text{ Hz}$	1,9	2,5	3,1	4,4	1
$n$ – limit	8000	10000	27000	50000	6





Obr. 28 Porovnání nárůstu energie u dvou stimulátorů a to PDP a PSDP



Obr. 29 Porovnání nárůstu energie u dvou stimulátorů a to PDP a PSDP

Srovnání těchto energií je uvedeno na Obr. 28 a Tab. 15. Byly porovnávány následující akumulátory: plochy PDP, kuželový PDP, PSDP, KSPD, a akumulátor se spirálovým magnetickým polem. Nárůst energie po jedné minutě aktivace vody je nejvyšší u KSPD v porovnání s ostatními akumulátory. Z porovnání je zřejmé, že Polární duhové pole i polární spirálové duhové pole mají z hlediska energie i uspořádání elektrické indukce D vyšší hodnoty a jsou výhodnější. Nejvyšší frekvenci  $10^{75}$  Hz mají všechny akumulátory s duhovými poli. Nárůst energie vůči okolí je u kuželových duhových polí na frekvenci  $10^{60}$  Hz vyšší. Výsledek porovnání vlastností vody po jednodominutové aktivaci v akumulátorech různého typu je uvedeno v Tab. 15. U akumulátoru existuje limitní hodnota  $n$ , související s propustností zrcadla pro pozitivní vlny v jednom a druhém směru. Pro KSDP akumulátor je to maximální hodnota  $n = 50000$ .

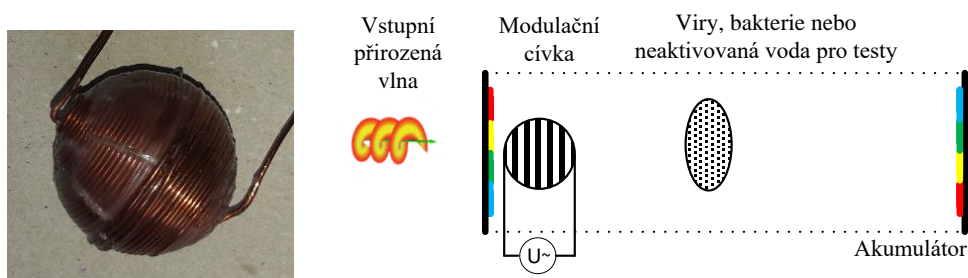
Akumulátor se spirálovým magnetickým polem ovlivňuje elektrony a jádra atomů a ne jejich vnitřní strukturu. Z hlediska parametrů vody je tento akumulátor méně výhodný, ale pro měření fyzikálních parametrů aktivace vody může být výhodnější.



## Akumulátor s možností modulace bioenergetického pole

Pro působení na buňky živých organismů je vhodné použít rezonančního principu a působit na ně modulovaným bioenergetickým polem. Dříve popsané rezonátory vytvářely pozitivní bioenergetické pole vhodné pro člověka, zvířata i rostliny. Nebylo možné je modulovat nízkými kmitočty. Využití modulace vychází z myšlenek Royal Raymond Rifa [15] a Hulda R. Clarkové [16]. Ti našli vhodné frekvence vln, pomocí nichž byli schopni provést destrukci buněk virů, bakterií apod. Tento postup je založen na rezonanci buněk. Pokud bude elektromagnetické pole v rezonanci s rezonancí buněk, dojde ke zvyšování energie buněk až na úroveň vedoucí k destrukci buněk. Experimentálně tento postup byl ověřen na mnoha pacientech.

Intuitivně byl navržen a ověřen postup modulace bioenergetických vln v akumulátoru s duhovým polem. Do akumulátoru je vložena kulová cívka s osou ve směru shodném s osou akumulátoru (Obr. 30 vpravo). Na poloze kulové cívky v akumulátoru nezáleží, pokud leží na ose akumulátoru. Kulová cívka má 48 závitů navinutých na kouli o průměru 40 mm (Obr. 30 vlevo). Pokud cívkou protéká stejnosměrný proud v jednom směru, pole v akumulátoru se nemění. V případě průchodu proudu cívkou opačným směrem, dojde ke změně bioenergetického pole, které bude mít pravotočivou rotaci, a takové negativní bioenergetické pole nepůsobí vhodně na lidské buňky. Průchodem střídavého proudu (obdélníkového nebo sinusového) je možné modulovat bioenergetické vlny v akumulátoru. Bude se tedy střídát pozitivní a negativní bioenergetické pole podle modulačního kmitočtu. Při vhodné frekvenci dojde k destrukci buněk infekcí, případně toxických látek.



Obr. 30 Akumulátor s duhovým polem s možností modulace nízkou frekvencí. Vlevo modulační kulová cívka a vpravo sestava akumulátoru.

## Odlišnost akumulátorů s duhovými poli a se spirálovým magnetickým polem

**Důležité upozornění.** V předchozích výzkumech byly vyvíjeny různé typy akumulátorů bioenergetického pole. Rozlišil bych dvě základní skupiny akumulátorů. První z nich je akumulátor na základě specifického magnetického pole – lze jej nazvat magnetický akumulátor. Druhou skupinou jsou akumulátory na bázi rezonátorů – rezonanční akumulátory.

Byly provedeny následující pokusy. Jak bylo zjištěno dříve, uspořádanou strukturu lze rozbít obalením květy s aktivovanou vodou uzavřeným vodivým povrchem, např. měděným válcem. V případě úpravy vody v magnetickém akumulátoru vodivý válec její strukturu poruší. Voda potom bude mít vlastnosti stejné, jako před aktivací. Je to pravděpodobně způsobeno vířivými proudy ve vodivém válci.

V případě aktivace vody v akumulátoru s duhovými poli nebo ostatními akumulátory, vznikne aktivovaná voda, kterou vodivý válec neporuší. Voda bude mít zvýšený jak násobek energie, tak  $D$  i maximální frekvenci. Vířivé proudy v okolí vzorku vody nevznikají.

V případě, že provedeme aktivaci magnetickým polem i rezonančním způsobem, aktivace vody bude větší, než při samostatných úpravách. Při použití vodivého válce dojde k rozbití struktury vytvořené magnetickým polem a struktura vytvořená rezonančním způsobem zůstává.

Z popsáných experimentů vyplývá, že akumulátor bioenergetického pole je možné vytvořit na základě dvou principů, magnetickým polem a s využitím rezonance. Aktivace vody magnetickým polem interaguje s magnetickým polem elektronu a jádra, ovlivní atom, pravděpodobně ovlivní prostorovou orientaci jádra a elektronu atomu. Může se vytvořit pevnější struktura molekul vody a ovlivnit tak iontovou vodivost vody, která je po aktivaci vody menší. Aktivace vody v rezonančních akumulátorech závisí na vhodné struktuře elektromagnetických vln sub-částic elektronu (nebo jádra) a na schopnosti akumulátoru sčítat silové účinky těchto vln na náboj elektronu. Protože bioenergetické vlny působí na sub-částice elektronu, nebudou ovlivňovat elektrické nebo magnetické pole elektronu a síly, které působí na okolní atomy. Z toho vyplývá, že rezonanční princip neovlivní iontovou vodivost vody ani jiné fyzikální vlastnosti vody. Je však pravděpodobné, že rezonanční princip ovlivní chemické a biologické procesy a tvorbu organických látek případně tvorbu proteinů v buňkách.

## Parabolické spirální duhové pole

Pro možnost ovlivnění energetického pole buněk v těle případně pro úpravu vody (pro pití) bylo navrženo a sestaveno parabolické spirální duhové pole (PaSDP), Obr. 31. Základem je spirální duhové pole podle Obr. 27. Místo spojitého duhového spektra jsou použity jen tři barvy rovnoměrně rozložené v duhovém spektru, červená, žlutá a modrá. Ty udělají 1,5 otáčky proti směru otáčení hodinových ručiček a jsou umístěny na povrchu parabolické plochy. Vnější průměr paraboly je 200 mm a hloubka paraboly je 70 mm. Do ohniska paraboly je umístěn vhodný krystal přírodního minerálu. Frekvenční spektrum minerálu je harmonizováno, vlnění má vyšší energii a jeho působení je výrazně lepší. Pro mě byl vhodný krystal Amazonitu.

PaSDP je vhodné nasměrovat na oblast břicha a nechat působit. Doba působení se postupně zvyšuje od 5 minut do 20 minut za den.

Z PaSDP je možné sestavit také rezonátor. Proti PaSDP se v určené vzdálenosti umístí kuželové spirální duhové pole. Vlny z PaSDP se od KSDP odráží zpět a v prostoru rezonátoru se sčítají a jejich energie roste. Vlastnosti vln v rezonátoru lze posuzovat podle vlastností vody, která se v rezonátoru aktivuje po definovanou dobu (např. 2 min.). Výsledky aktivace v různých polích je možné navzájem porovnat.



Obr. 31 Parabolické spirální duhové pole (PaSDP).

Výsledky porovnání vlastností vody aktivované v různých polích jsou uvedeny v Tab. 16. Voda byla aktivována v těchto polích:

- Kontrola byla bez aktivace a po rozbití struktury vody ultrazvukem po dobu asi 10 s
- PaSDP - parabolickým spirálním duhovým polem (voda byla postavena před vodorovně položenou parabolou)
- Rezonátor s PDP ve vzdálenosti 400 mm od sebe – voda byla vložena doprostřed rezonátoru
- Rezonátor s PDP a se spirálovým magnetickým polem ve vzdálenosti 700 mm od sebe - voda byla vložena doprostřed rezonátoru
- Rezonátor s PDP ve vzdálenosti 700 mm od sebe - voda byla vložena doprostřed rezonátoru
- Rezonátor s PaSDP a KSDP ve vzdálenosti 200 mm od sebe - voda byla vložena doprostřed rezonátoru

*Tabulka 16 Porovnání parametry vody aktivované v různých polích.*

Typ aktivace	$f_{max} - 10^x$ Hz	$n_{ft}$	$n_{fmax}$	$D$	Limitní hodnota $n$ za nekonečnou dobu aktivace
Kontrola (po rozbití ultrazvukem)	24	1,2	0	22	1
PaSDP	55	6	4	90	5000
PDP – 400 mm	61	6	1,5	60	10000
PDP s magnetickou úpravou – 700 mm	42	4	1,2	100	10000
PDP – 700 mm	43	5,8	1,6	70	10000
Rezonátor s PaSDP a KSDP	75	20	20	45	20000

Byly sledovány následující vlastnosti:

- Maximální frekvence spektra vody
- Násobek energie ve srovnání s okolní energií na frekvencích fyzického těla
- Násobek energie ve srovnání s okolní energií na maximální frekvenci
- $D$  - elektrická indukce vody

Z tabulky jsou zřejmé rozdíly v aktivaci vody. Rezonátor s PaSDP a KSDP ve vzdálenosti 200 mm od sebe aktivuje vodu nejlépe. Voda dosahuje za 2 min limitní hodnoty maximální frekvence, voda má nejvyšší energii ze všech aktivací a **co je nejvýznamnější** je to, že energie na maximální frekvenci je stejná, jako je energie na frekvencích fyzického těla. Vlnění tedy posiluje energii těla v celé frekvenční oblasti včetně duchovního těla a univerza.

## Závěr

Použití akumulátorů bioenergetického pole bylo v dřívějších dobách i dnes intenzivně zkoušeno [8]. Přes přezírání vědeckými kruhy, Reich i Kozyrev používali svých akumulátorů na léčení lidí. Jejich zkušenosti jsou nesporné. Kozyrev také zkoušel, jaké vjemy mají

v akumulátoru citliví lidé. Dospěl k názoru, že v aktivovaném prostředí mají výrazně lepší intuitivní myšlenky a mohou lépe mentálně cestovat v prostoru a v čase.

Akumulátor podle původních návrhů Reicha, Kozyreva, akumulátor s magnetickým stíněním se jeví z pohledu působení na člověka stejně. Podobné je také působení bioenergetického pole v pyramidě. Akumulátory s duhovými poli se jeví z pohledu působení na člověka odlišně. Dokáží uvnitř akumulátoru zesílit pozitivní bioenergetické pole a potlačit negativní pole.

## Publikace

- [1] [https://cs.wikipedia.org/wiki/Fibonacciho\\_posloupnost](https://cs.wikipedia.org/wiki/Fibonacciho_posloupnost)
- [2] [https://cs.wikipedia.org/wiki/Wilhelm\\_Reich](https://cs.wikipedia.org/wiki/Wilhelm_Reich)
- [3] <http://orgonity.eu/orgon.html>
- [4] <https://probud.se/vesmir/david-wilcock/766-david-wilcock-dr-kozyrev-eter-as-a-torze>
- [5] <https://cs.wikipedia.org/wiki/Pyramida>
- [6] <http://extrastory.cz/objev-ceskeho-inzenyrya-pyramida-ktera-brousi-ziletky.html>
- [7] Veverka D., konstrukce a ústní sdělení, Lednice, 2018
- [8] Bartušek, K., Souznění vesmíru a člověka, <https://www.karelbartusek.cz/>
- [9] [https://en.wikipedia.org/wiki/Angular\\_momentum\\_of\\_light](https://en.wikipedia.org/wiki/Angular_momentum_of_light)
- [10] [https://en.wikipedia.org/wiki/Orbital\\_angular\\_momentum\\_of\\_light](https://en.wikipedia.org/wiki/Orbital_angular_momentum_of_light)
- [11] Zhao, Y., Du, J., Zhang, J., Shen, and Wang, Generating structured light with phase helix and intensity helix using reflectionenhanced plasmonic metasurface at 2  $\mu\text{m}$ , Appl. Phys. Lett. 112, 171103 (2018); doi: 10.1063/1.5024433, <https://doi.org/10.1063/1.5024433>
- [12] Alam, S. U., Rao, A. S., Ghosh, A., Vaity, P., and Samanta G. K., Nonlinear frequency doubling characteristics of asymmetric vortices of tunable, broad orbital angular momentum spectrum, Appl. Phys. Lett. 112, 171102 (2018); <https://doi.org/10.1063/1.5024445>
- [13] Allen, L., Beijersbergen, M.W., Spreeuw, R.J.C., a Woerdman, J.P., Orbital angular momentum of light and the transformation of Laguerre-Gaussian laser modes, Physical Review A, Vol. 45, N. 11, 1992.
- [14] Bartušek Karel, Mentální léčení fyzikální silou myšlenky, Brno, 2012, <https://www.karelbartusek.cz/>
- [15] <https://www.revoluce-v-leceni-nemoci.cz/royal-raymond-rife>
- [16] <https://www.revoluce-v-leceni-nemoci.cz/>